

### الباب الاول

#### المقدمة

الجويود – ومع أنه سطح غير منتظم – ألا انه يمثل أقرب شكل للأرض التي نعيش عليها ، ولتمثيل أي منطقة علي خريطة فأنا نقيس علي سطح الأرض ونزيح القياسات الي سطح الجويود ، المشكلة ان هذا السطح غير منتظم وشديد التعرج وليس له معادلات حسابية أو قوانين رياضية لوصف سطحه وبالتالي اسقاطه علي الخرائط حتي تعبر عن تضاريس الأرض بدقة ، ولذلك كان الحل هو استخدام أي نموذج رياضي معروف (معادلات رياضية لوصفه ) في أعمال انشاء الخرائط وهنا لا بد من وجود طريقة للتحويل بين الجويود وهذا السطح الرياضي المفترض نظريا (المسمي الالبسويد) .

يمكن تحديد هذا السطح (ارتفاع الجويد ) بعدة طرق طريقة الجاذبية و الطريقة الهندسية

في هذا البحث سنتاول طريقة الجاذبية أو فروقات الجاذبية وذلك بأخذ نموذج لارتفاع نقطة أو نقاط يتم حساب ارتفاع الجويود عندها من عدة مناطق مختلفة ، يتم اولاً اخذ قراءات جاذبية أو شذوذ الجاذبية بواسطة جهاز الغرافميتر gravimeter (حسب نوع الجهاز المستخدم) للمنطقة المستهدفة وهي (جمهورية السودان – ولاية الخرطوم – مدينة الخرطوم) .

هذا البحث يشتمل علي اربعة ابواب ،يحتوي الباب الأول علي مقدمة البحث،كما يتحدث الباب الثاني عن سطح الجويد وأهميته وتأثيره علي الارصادات المساحية والاسطح الجيوديسية وانواع الارتفاعات اجهزة الجاذبية وانواعها وتصحيحات الجاذبية،اما الباب الثالث فيتناول الحسابات والنتائج ،ويحتوي الباب الرابع الخلاصة والتوصيات .

### الباب الثاني

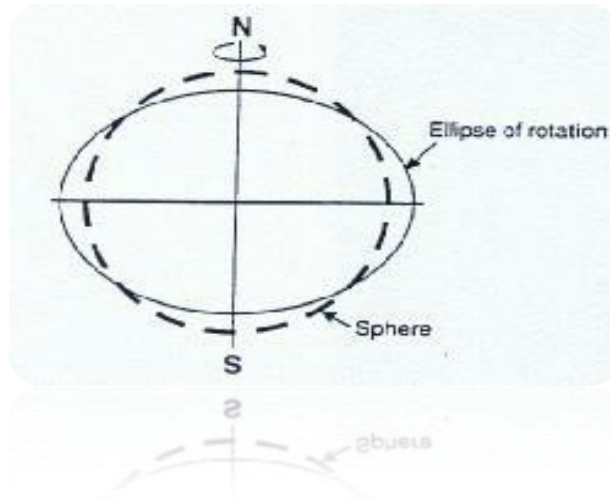
#### 1-2 الجيويد geoid:-

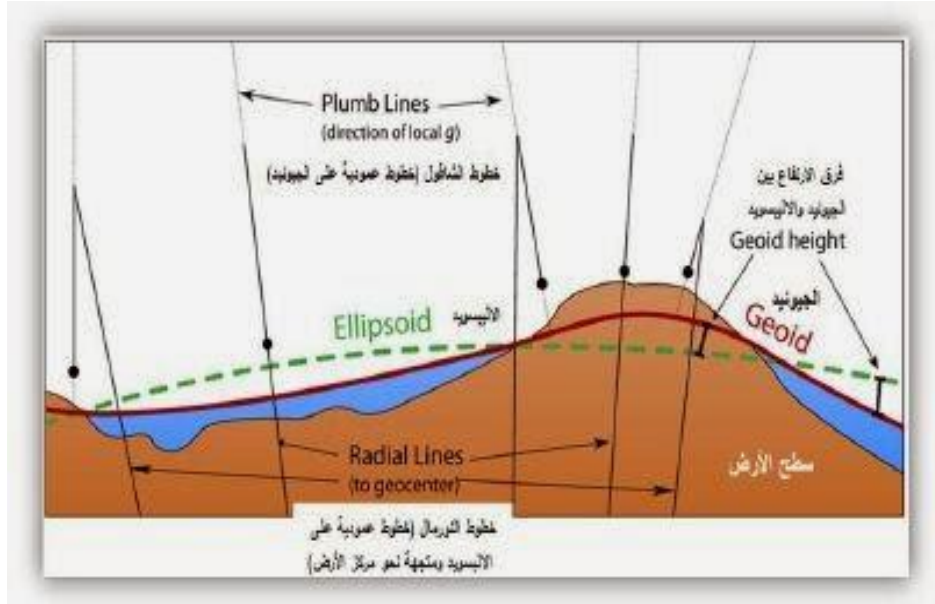
الجيويد هو السطح المتساوي الجهد  $equi-potential surface$  والذي ينطبق مع مستوي سطح البحر إذا لم يتغير بالرياح أو المد والجزر، وإرتفاعه يساوي الصفر .

تكمن أهميته في مسح الجاذبية لأنه أفقي ويشكل زاوية قائمة علي اتجاه التسارع الناتج عن الجاذبية في أي مكان من هذا السطح أي أن العلاقة بين إتجاهات السطح والقوي الثلاث ( التجاذب وقوة الطرد المركزية والجاذبية ) هي ما يعرف بالجيويد . ويستخدم كمرجع لعمليات التسوية والتحديد الفلكي للإنحراف الرأسية بين مستوي الجيويد والاسفيرويد باستخدام تكامل ستوك  $Stokes integral$  في أي محطة.

القطع الناقص للدوران :

شكل (1-2) يوضح القطع الناقص للدوران





شكل ( 2-2 ) يوضح أنواع الاسطح والارتفاعات

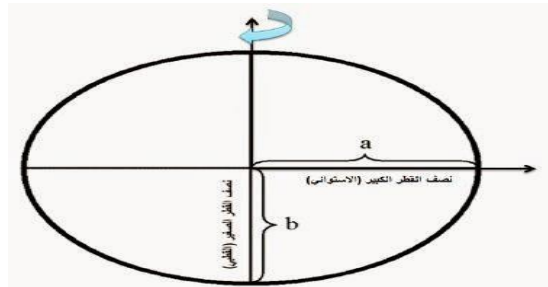
نظراً لأن علم المساحة هو علم القياسات الأرضية فلا بد أن نتعرف على شكل الكرة الأرضية ، فقد تم اكتشاف كروية الأرض منذ عهود قديمة إلى أن جاء نيوتن وأجرى دراساته حول الجاذبية الأرضية واستنتج أن الكرة الأرضية ليست كرة كما هو في المفهوم الرياضي ، فهي مفلطحة عند القطبين وقطرها عند الإستواء أكبر من قطرها عند القطبين ، فهي بالتالي عبارة عن قطع ناقص دوراني ما يميزه هو

$$f = (a-b)/a$$

حيث:-

a هو نصف القطر الاكبر للقطع

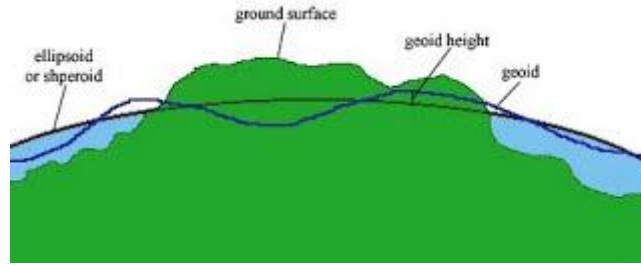
b هو نصف القطر الاصغر



شكل (3-2) يوضح أنصاف الاقطار الاكبر a والاصغر b

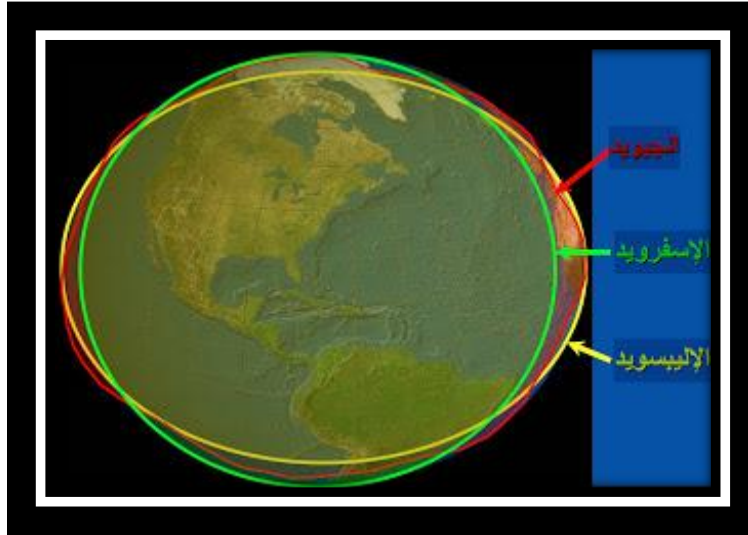
وقد قام عدد من العلماء بحساب نسبة التفلطح بدءاً من دالومبير الذي وجد أن :  $f=1/334$  إلى أن جاء كراسوفسكي الذي وجد أن :  $f=1/298.3$  .

ولفهم وتمثيل شكل الأرض بصورة أدق ظهر ما يعرف بالجيويد (Geoid) : وهو يمثل الشكل الحقيقي للكرة الأرضية ، ففي البداية تم اعتماد الجيويد للتعبير عن سطح الأرض بدلاً من السطح الفيزيائي المعقد ، والجيويد : هو السطح الذي تتساوى فيه شدة الجاذبية الأرضية من كل نقطة من نقاطه ، ويعرف أنه السطح المعبر عن منسوب سطح البحر كما لو كان ممتداً داخل تضاريس الأرض .



شكل (4-2) يوضح الأسطح الجيوديسية

لكن يبقى الجيويد شكل غير هندسي يصعب التعبير عنه رياضياً فاستبدله العلماء بما يعرف بالإليпсоيد (Ellipsoid) : وهو أقرب شكل رياضي هندسي لشكل الكرة الأرضية وهو على شكل قطع ناقص دوراني ، واستبدله العلماء بالجيويد لأن الفرق بينهما بسيط .  
وهناك أيضاً شكل لكنه لا يستخدم إلا في بعض الحالات وهو ما يعرف بالإسفرويد (spheroid) : وهو أقرب شكل رياضي هندسي كروي لشكل الكرة الأرضية .



شكل (2- 5) يوضح الجيويد والإليبيسويد والإسفرويد

بهذا يكون الشكل الحقيقي للأرض التي نعيش عليها ونجري القياسات عليها (الجيويد) لكنه لا يصلح للحسابات و إسقاط الخرائط ، ولدينا سطح رياضي منتظم (الإليبيسويد) يصلح للحسابات والخرائط لكنه غير موجود فعلياً في الطبيعة و لا نستطيع القياس عليه لذلك تم إيجاد وحساب الطريقة المناسبة لتحويل القياسات المساحية التي تمت على الأرض (الجيويد) إلى ما يناظرها على الإليبيسويد حتى يمكن إنشاء الخرائط الدقيقة

الجيويد المحلى له أهمية كبيرة فى الأعمال المساحية وذلك لأن جميع الأرصاد المساحية تنسب اليه وكل الارتفاعات تقاس منه. وهو سطح غير منتظم (يصعب وصفه بمعادلات ) لكنه يمثل أقرب شكل حقيقى للأرض .

توجد طرق عديدة لحساب قيمة حيود الجيويد أي نمذجة الجيويد تعتمد علي عدة أنواع من القياسات الجيوديسية مثل :أرصاد الجاذبية الأرضية ،وأرصاد جهاز الموقع العالمي والميزانيات.

### 3-2 نمذجة الجيويد

#### 1-3-2- نمذجة الجيويد من أرصاد الجاذبية الأرضية:

يتم قياس قيمة الجاذبية الأرضية علي سطح الأرض باستخدام أجهزة قياس الجاذبية ،كما يمكن أيضا باستخدام خصائص اليبسويد حساب قيمة الجاذبية النظرية عند سطح الاليسويد.

الفرق بين قيمة الجابية المقاسة وقيمة الجاذبية النظرية المحسوبة يسمى بشذوذ الجاذبية يعبر بصورة معينة عن الفرق بين كلا من الاليسويد والجيويد .

لإستنتاج سطح الجيويد من منطقة محلية يلزمنا:

1- قياس الجاذبية الأرضية بكثافة مناسبة لمساحة المنطقة.

2- نموذج جاذبية أرضية عالمي.

3- نموذج جيويد عالمي.

4- نموذج إرتفاعات رقمية للمنطقة المحلية.

5- برنامج متخصص لحساب الجيويد.

#### 2-3-2- نمذجة الجيويد من أرصاد جهاز الموقع العالمي والميزانيات :

تسمى بالطريقة الهندسية ،ويعد هذا الأسلوب هو الامثل للمساحة بالجوي بي أس وخاصة للمناطق الصغيرة (منطقة تغطي مساحة من 10 إلي 20 كيلو متر مربع ) تتم قياسات جهاز الموقع العالمي عند مجموعة من النقاط المعلوم منسوبها (نقاط روبيرات) وبالتالي يمكن حساب قيمة حيود الجيويد عند هذه النقاط باستخدام المعادلة التالية :

$$h=H+N$$

حيث:

N يمثل حيود الجيويد

H تمثل الإرتفاع الأورثومتري

h تمثل الإرتفاع الجيوديسي

ومن هذه الارتفاعات يتم ايجاد حيود الجيوي (N) .

### 2-4 الأسطح الجيوديسية :

تحديد شكل وحجم الأرض وما يتعلق بهما من معلومات من أهم الاعمال الجيوديسية.

عندما نتحدث عن شكل الأرض عادة تعتبر كتلة ثابتة. تنقسم الأسطح المستخدمة في الجيوديسيا إلى ثلاث أقسام لتمثيل الشكل الهندسي للأرض وهي :

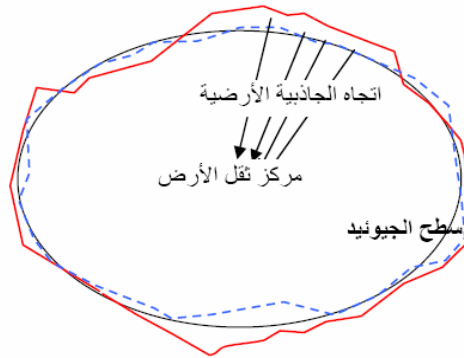
### 2-4-1 سطح الأرض:

هو السطح الذي يبين الوصف التفصيلي للتضاريس والسمات السطحية للأرض والتي تعرف بطبوغرافية الأرض. إن لسطح الأرض أهمية قصوي في الجيوديسيا وذلك لأن معظم القياسات وعمليات الرصد المساحية تتم علي سطح الأرض. إضافة إلي أن معظم نقاط التحكم الأفقية والرأسية تقع علي هذا السطح.

### 2-4-2 المجسم الأرضي(الجيويد):

يعرف المجسم الأرضي بأنه سطح متساوي الجهد لقوي الجاذبية الأرضية والدوران وينطبق تقريبا مع مستوي سطح البحر في المحيطات .

وبذلك يمكننا القول إن المجسم الأرضي يمثل حوالي 72% من الكرة الأرضية .



شكل (2-6) يوضح إتجاه ثقل الجاذبية

### 2-4-3 الجسم الإهليلجي (الإليبيويد):

الجسم الإهليلجي عبارة عن قطع ناقص تمت إدارته حول محوره الأصغر.

للسطح الإهليلجي أهمية كبيرة في الجيوديسيا لأنه أقرب شكل هندسي رياضي يمثل الجسم الأرضي. وللتعبير عن هذا السطح يلزمنا معرفة عنصرين :

1- نصف المحور الأكبر (المحور في مستوي خط الإستواء) ويرمز له بالرمز a

2- نصف المحور الأصغر (المحور بين كلا القطبين) ويرمز له بالرمز b

ويتميز شكل الإليبيويد بعدة خصائص :

\*سهولة إجراء الحسابات علي سطحه (حيث أنه شكل هندسي معروف) .

\*لا يختلف سطح الإليبيويد الرياضي عن سطح الجيويد كثيرا ( أكبر فرق بين كلاهما لا يتعدى 100 متر فقط . لاحظ أن الفرق بين الجيويد والكرة يصل إلي 21 كيلومتر تقريبا ) .

### 2-5 المراجع الجيوديسية :

لكي يمكن تحديد المواقع علي سطح الأرض يلزمنا إختيار شكل رياضي يعبر عن شكل وحجم الأرض ذاتها وهو ما نطلق عليه اسم الشكل المرجعي Reference surface . أحد هذه الأشكال المرجعية من الممكن أن يكون الكرة والتي كانت مستخدمة لفترة طويلة لتحديد المواقع التي لا تتطلب دقة كبيرة ولرسم الخرائط التي لا يزيد مقياسها عن 1:1000000 . أيضا للمساحات الصغيرة جدا (أقل من 50 كيلومتر مربع) من الممكن إعتبار المستوي Plane شكلا مرجعيا وخاصة في تطبيقات المساحة المستوية . أما لتحديد المواقع بدقة عالية أو لرسم الخرائط الدقيقة فإن الإليبيويد هو الشكل المرجعي المستخدم .

## الجيويد باستخدام الجاذبية

طول القرنين الأخيرين تعددت محاولات علماء الجيوديسيا لتحديد أنسب اليبسويد يعبر عن شكل الأرض بأقرب صورة ممكنة. وكلما تجمعت قياسات جيوديسية جديدة لدي أحد العلماء أو الجهات الدولية يتم حساب قيم جديدة لعناصر تعريف الإليبيسويد مما أدى لوجود العديد من نماذج الإليبيسويد .

كانت كل دولة عند إقامة الهيكل الجيوديسي أو المساحي لها بغرض البدء في إنتاج الخرائط غالبا ما تختار أحسن اليبسويد في ذلك الوقت لتتخذ السطح المرجعي لنظام خرائطها .

من المعروف أن أي اليبسويد يكون أقرب مايمكن لمثيل سطح الأرض علي المستوي العالمي ،أي أن الفرق بينه وبين الجيويد يختلف من مكان لمكان علي سطح الأرض لكنه أقل مايمكن علي المستوي العالمي .لكن كل دولة عندما تعتمد اليبسويد معين تريد أن يكون الفرق بينه وبين الجيويد أقل مايمكن في حدودها ولا تهتم إن كان هذا الفرق كبير في مناطق أخرى من العالم .لذلك كانت كل دولة تلجأ لتعديل وضع الإليبيسويد المرجعي قليلا لكي يحقق هذا الهدف .وفي هذه الحالة أي بعد إجراء هذا التعديل البسيط فلم يعد هذا الإليبيسويد كما كان في الأصل لكنه صار في وضع مختلف ،وهنا نطلق عليه إسم مرجع أو مرجع جيوديسي أو مرجع وطني .

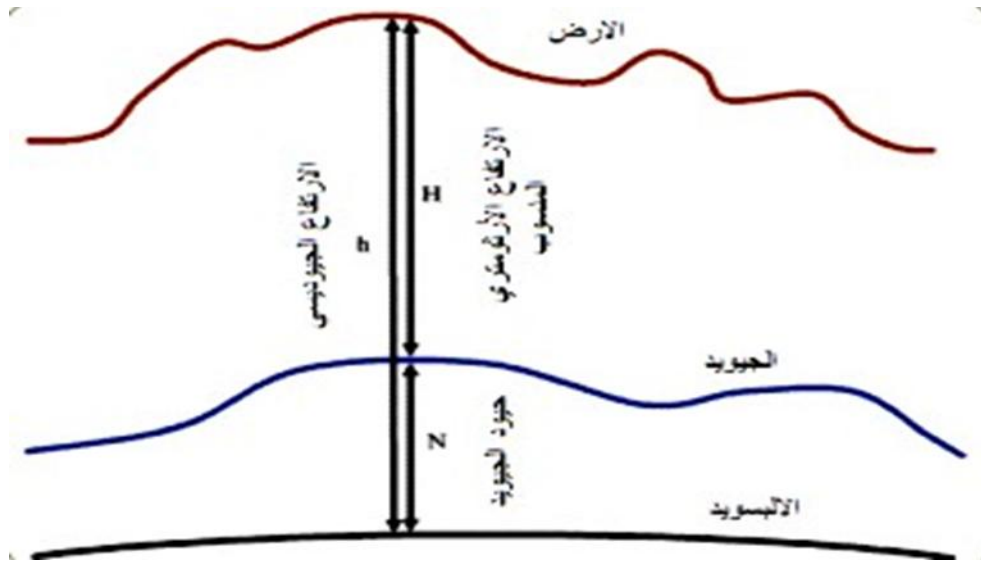
أي أن المرجع الوطني لأي دولة ما هو إلا اليبسويد عالمي قد تم تعديل وضعه بصورة أو بأخرى ليناسب هذه الدولة ويكون أقرب تمثيلا لشكل الجيويد (الشكل الحقيقي للأرض) عند هذه الدولة .كما يجب الإشارة إلي أنه كلما قل الفرق بين المرجع الوطني لدولة ما والجيويد كلما زادت دقة الخرائط المرسومة اعتمادا علي هذا المرجع .

كما يجب الإشارة في هذا السياق إلي وجود مراجع وطنية عديدة لدول مختلفة كلها تعتمد علي نفس الإليبيسويد العالمي ،لكن كل مرجع يعدل وضع هذا الإليبيسويد بصورة مختلفة .

المراجع التي تحدثنا عنها حتي الآن هي مايمكن أن نطلق عليها إسم المراجع الأفقية وهي الخاصة بتحديد المواقع في المستوي الأفقي .أما عند التعامل مع الإحداثيات في المستوي الرأسي (أي الإرتفاعات) فأننا نحتاج إلي نوع آخر من المراجع هي المراجع الرأسية .ويعد الجيويد هو المرجع الرأسي المعتمد في العديد من دول العالم ،أي لتحديد هذا المرجع نحتاج لتحديد النقطة التي يكون عندها متوسط سطح البحر يساوي صفر .

### 6-2 أنواع الارتفاعات:

توجد عدة مراجع لقياس الارتفاعات والتي بدورها تحدد أنواع الارتفاعات. فإذا تم اتخاذ متوسط منسوب سطح البحر كمرجع فالنتائج سيكون ارتفاع من النوع الارثومتري Orthometric Height والذي نطلق عليه بصفة عامة كلمة المنسوب وهو المستخدم في الخرائط الطبوغرافية في معظم الدول. أما إذا اعتمدنا سطح الالبسويد كمرجع فإن نوع الارتفاع الذي نحصل عليه يسمى الارتفاع الجيوديسي Geodetic Height وهذا هو نوع الارتفاعات الناتج من أرصاد GPS مثلا. وهناك أيضا أنواع أخرى من الارتفاعات



شكل(7-2) يوضح انواع الارتفاعات

## الجويود باستخدام الجاذبية

لقياس الارتفاعات في منطقة شاسعة – وخاصة في الاعمال التي لا تتطلب دقة عالية – من الممكن استخدام أرساد GPS لأنها أسرع و أسهل و أرخص تكلفة لكن يجب في هذه الحالة تحويل نوع الارتفاع الجيوديسي الي المنسوب حتي يتفق مع الخرائط القديمة لهذه المنطقة أو مع خرائط الدولة بصفة عامة. هنا لا بد من وجود نموذج جيويد يسمح بالتحويل بين كلا نوعي الارتفاعات. لاهليج أو الالبسويد أو مجسم القطع الناقص أو الشكل البيضاوي أو الاسفرويد (كلهم أسماء لنفس الشئ أي كلهم مترادفين) بصفة عامة هو نموذج لتمثيل حجم و شكل كوكب الأرض.

## 7-2 الجاذبية الأرضية

كوكب الأرض عبارة عن مجسم شبه كروي (سواء كرة أو اليبسويد) يوجد علي سطحه العديد من المعالم الطبيعية والبشرية، فلماذا لاتقع كل هذه الاشياء من علي سطح الارض؟ السبب أن الخالق العظيم قد خلق قوة تربط بين كل ما علي سطح الأرض تجعلهم جميعا منجذبين لهذا الكوكب ولا يتناثرون منه إلي الفضاء الخارجي. هذه القوة التي هي من أسباب الحياة علي الأرض هي المعروفة بإسم الجاذبية الأرضية أو الثقالية الأرضية. أما عن سبب وجود هذه القوة فيرجع إلي ما إكتشفه العالم الكبير إسحاق نيوتن من أن أي جسمين بينهما قوة جذب متبادل تعتمد علي كتلة كلا الجسمين والمسافة بينهما. فأنت تجذب الأرض والارض تجذبك أيضا، لكن بما أن كتلة جسمك لا تقارن بكتلة الأرض ذاتها فإن تأثير جذب الأرض هو الاقوى وهو المؤثر عليك. وحيث ان الأرض ماهي إلا كوكب من مكونات المجموعة الشمسية التي تضم العديد من الكواكب الأخرى والنجوم فإن هناك قوة جذب أخرى بين الارض وهذه الأجسام السماوية وخاصة الشمس والقمر. إن كانت الأرض كرة تامة الإستدارة (حيث نصف قطرها يساوي 6371 كيلومتر) وكان توزيع المواد والكثافات داخل باطن الأرض توزيعا منتظما فإن قوى الجاذبية ستكون متساوية في أي جزء من سطح الأرض وقد قدرها العلماء بقيمة 9.82 متر/ث<sup>2</sup>. لكن لأن الأرض ليست كرة تامة وإنما اليبسويد وأيضا تختلف كثافات موادها تحت السطح فإن الجاذبية الأرضية لن تكون متساوية للأرض بأكملها، 9.78 متر/ث<sup>2</sup> عند خط الإستواء وتبلغ 9.83 متر/ث<sup>2</sup> عند القطبين. أي أن قيمة الجاذبية الأرضية تكون أكبر عند القطبين منها عند خط الإستواء ويرجع السبب في ذلك إلي أن سطح الارض عند القطبين يكون أقرب

## الجويود باستخدام الجاذبية

لمركز الأرض بينما يكون أبعد من مركز الأرض عند خط الإستواء، أي أن الجاذبية الأرضية تزيد مع زيادة دوائر العرض. ومن هنا فيجب قياس قيم الجاذبية الأرضية عند منطقة العمل المطلوبة من سطح الأرض.

ترجع أهمية قياسات الجاذبية الأرضية في تطبيقات المساحة إلى أن العمل المساحي الحقلية الذي يتم علي سطح الأرض يكون تحت تأثير هذه القوة. فعندما نضبط أفقية أي جهاز مساحي (ميزان، ثيودوليت أو محطة شاملة) فإن الجهاز يصبح عمودي علي إتجاه قوة الجاذبية الأرضية، وكذا في النقطة التالية ثم النقطة التالية (لأن اتجاهات قوى الجاذبية تتجه نحو مركز الأرض) وبالتالي يكون هناك تأثيراً للجاذبية الأرضية علي كل القياسات المساحية التي تتم علي سطح الأرض. ثم أن الخرائط المساحية تعتمد علي شكل الإليبيسويد في الحسابات وهو شكل مختلف عن شكل الأرض الحقيقي (الجويود الذي لا يمكن إستخدامه في الحسابات بسبب انه متعرج ولا يمكن وصفه بمعادلات رياضية) حتي وإن كان قريباً جداً منه. أي أننا نحتاج لمعرفة الفرق بين شكل الأرض الحقيقي وهو الجويود وشكل الإليبيسويد الذي تتم عنده الحسابات، وهذا الفرق يمكن تحديده وقياسه من خلال قياس قيمة الجاذبية الأرضية. هذا الفرق يختلف من مكان لآخر علي سطح الأرض.

### وحدات الجاذبية 8-2: Gravity Units

أول قياس لتسارع الجاذبية (عجلة الجاذبية الأرضية) كان لجاليلو في تجربته الشهيرة عندما ألقي أشياء من قمة برج بيزا المائل. وتسمى وحدة تسارع الجاذبية الأرضية بوحدات c.g.s تشريراً للعالم جاليلو. مقاييس الجاذبية الحديثة ممكن أن تقيس التغيرات الصغيرة جداً في تسارع الجاذبية إلي جزء واحد من  $10^9$  (تكافئ قياس المسافة بين الأرض والقمر بدقة 1 متر).

حاسبية الاجهزة الحديثة تصل ألي 10 اجزاء في المليون، مثل هذه القياسات الصغيرة أدت إلي استنتاج وحدات صغيرة مثل المليجال (1 ملي جال =  $10^{-3}$  جال)، و (1 ميكروجال =  $10^{-6}$  جال).

وحسب مقاييس ال SI، يقاس تسارع الجاذبية بـ  $\mu\text{m/s}^2$  ويطلق عليها وحدة الجاذبية [gravity unit (g.u.)]، أي أن  $1\text{g.u.} = 0.1\text{mGal}$ .

وحدة الجاذبية مازالت غير مقبولة عالمياً ومازال الـ "mGal" والـ "μGal" واسعة الاستخدام.

## الجيويد باستخدام الجاذبية

ولأن قيم الجاذبية المطلوبة في التطبيقات الجيولوجية والمساحية تتفاوت دقتها من 0.03 mGal الي 0.05 mGal ، ونظراً لصغر هذه القيمة فان أجهزة الجرافيميتير يجب أن تكون دقيقة جداً في تصميمها وطرق عملها .

### 9-2 التغيرات في قيم الجاذبية:

زيادة الجاذبية مع خطوط العرض ، تزداد قيم الجاذبية بزيادة خط العرض ، نظراً لأن سطح الأرض عند القطبين أقرب لمركز الأرض منه عند خط الإستواء بمقدار 21 كلم تقريباً ، وبالتالي فان قيمة الجاذبية عند القطبين أكبر (بحوالي 0.7%) من قيمة الجاذبية عند خط الإستواء .

وتأثير قوي جذب الأرض وقوي الطرد المركزية يؤدي إلي تغيير في قيمة الجاذبية لتغير خط العرض.

$$g_{\theta} = g_0(1 + x \sin^2 \theta - \beta \sin^2 2\theta)$$

حيث:

$$0.0052884 = X$$

$$0.0000059 = \beta$$

المعادلة الدولية للجاذبية عند أي خط عرض

$$G_{\theta} = 0.812 \sin^2 \theta \text{ mgal/m}$$

يتضح من المعادلات أعلاه أن خط العرض عند القطبين 90 درجة وعند خط الاستواء صفر درجة وبالتالي ليس هنالك تأثير لإختلاف خط العرض في قيمة الجاذبية عند القطبين أو خط الأستواء لأن  $\sin 0 = \sin 180 = 0$  وتصل القيمة القصوي لتغير قيم الجاذبية مع خط العرض عند 45 درجة حيث  $\sin 45 = 1$  .

نقص الجاذبية مع زيادة الإرتفاع فوق سطح البحر، كلما زاد الإرتفاع عن سطح البحر كلما أبتعدنا عن مركز الأرض ، وبالتالي فإن قانون حساب الجاذبية يصبح  $g = G M / (R + h)$  حيث  $h$  تمثل الإرتفاع عن سطح البحر وتم حساب هذا التغير بـ  $0.3086 h \text{ mgal/m}$  .

### 10-2 قياسات الجاذبية الأرضية :

هناك طريقتان لقياس قيمة الجاذبية الأرضية في أي نقطة على سطح الأرض وهما الجاذبية المطلقة والجاذبية النسبية (الطرق الديناميكية) وكلاهما يتطلب دقة عالية في القراءات المرصودة باستخدام أجهزة الجاذبية المطورة .

### 1-10-2 طريقة الجاذبية المطلقة :

يحتاج تحديد تسارع الجاذبية (عجلة الجاذبية الأرضية ) كقيمة مطلقة إلى طرق معملية دقيقة وعادة تنفذ فقط تحت الظروف المعملية وتستخدم طريقتين للقياس هما :طريقة الجسم الساقط وطريقة تأرجح البندول .

وتستخدم أجهزة قياس الجاذبية المطلقة للحصول على الجاذبية بدقة عالية في نقاط محددة فوق سطح الأرض وذلك لتعيين نقاط ضبط أساسية ومعايرة أجهزة قياس الجاذبية النسبية وذلك لان أجهزة قياس الجاذبية المطلقة ثقيلة قد يصل وزنها على 300 كجم ، زمن الصعوبة نقلها من نقطة إلى أخرى .

### 2-10-2 طريقة الجسم الساقط :

وهي مراقبة ورصد حركة جسم (صغير جدا) يسقط لمسافة 1-2 متر في إطار معزول تماما عن أي مؤثرات خارجية ، ومن خلال قياس الزمن ومسافة السقوط في هذا المسار يمكن حساب قيمة الجاذبية الأرضية في هذا الموقع .

### 3-10-2 طريقة تأرجح البندول :

تعتمد على تعليق مادة (صغيرة جدا) في خيط غير قابل للاستطالة وكتلته مهملة ويكون مرن تماما ،ثم تتأرجح هذه المادة في مستوي رأسي باتساع صغير جدا ومن ثم يمكن حساب قيمة الجاذبية الأرضية المطلقة في هذا الموقع من خلال قياس الفترة الدورية لإهتزاز (تأرجح) البندول .

### 4-10-2 طريقة الجاذبية النسبية:

عادة في الاستكشاف الجاذبي ،ليس من الضروري تحديد القيمة المطلقة للجاذبية بل الأكثر هو قياس التغيرات النسبية ، فيتم إختيار محطة أساسية (وهي التي ترجع إلى INGSN71) وتنشأ محطات جاذبية لشبكة ثانوية .

جميع بيانات الجاذبية التي تجمع من هذه المحطات خلال المسح تنقص بالنسبة للمحطة الأساسية ،وإذا لم يكن من الضروري حساب القيم المطلقة للجاذبية فيعتبر قيمة الجاذبية عند المحطات الأساسية المحلية تساوي صفر.المسافة البينية بين محطات الجاذبية هامة بالنسبة لتفسير البيانات في الدراسات الإقليمية ،قد توضع المحطات بكثافة 2-3 محطة كل كيلومتر مربع .في إجراء الجاذبية الدقيقة قد تصل المسافة بين المحطات إلى نصف متر .

### 11-2 أجهزة قياس الجاذبية الأرضية:

لا يوجد جهاز واحد يستطيع القيام بجميع متطلبات المسح الجاذبي، وبالتالي فهناك العديد من الأجهزة المصنعة لمختلف الأغراض في عام 1749 م وجد بيير بوجير أنه يمكن قياس الجاذبية باستخدام البندول المتأرجح وفي القرن التاسع عشر، كان البندول ذو استخدام شائع لقياس الإختلافات النسبية في الجاذبية. أساس العملية بسيط فالجاذبية تتناسب عكسيا مع مربع دورة التردد (T) وتتناسب طرديا مع طول البندول (L). أحد الطرق هي أن تأرجح بندول في مكانين A و B ثم يقارن بين الفترة الدورية لهما، فإذا تأرجح نفس البندول تحت ظروف متطابقة في موقعين، وقيمة تسارع الجاذبية (عجلة الجاذبية الأرضية) لها هي  $g_A, g_B$  فإن نسبة قيمتي  $g$  هي نفس نسبة التردد الدوري لهما  $T_A, T_B$

$$T_A = 2\pi\sqrt{k/g_A}$$

$$T_B = 2\pi\sqrt{k/g_B}$$

حيث:

k ثابت

### 1-11-2 الجرافيمتر :

بعد عام 1950م أمكن قياس الجاذبية النسبية للأغراض العلمية والعملية .

الجرافيمتر عبارة عن جهاز صغير وسهل الانتقال من نقطة لأخرى في موقع الرصد وتعتمد فكرته علي سلك زنبركي متعادل يتغير تعادله (توازنه) بتأثير أي قوة إضافية مهما صغرت قيمتها ويمكن قياس مقدار التغير الذي يحدث ومن مميزاته سهولته وصغر حجمه وسرعة القراءة ودقته وتنقسم أجهزة الجرافيمتر إلي :

أولا : الساكن **stable**

ثانيا : الغير ساكن **unstable**

أجهزة قياس الجاذبية هي إتران زنبركي متطور يعلق في آخره كتلة ثابتة وزن الكتلة هي حاصل ضرب الكتلة في تسارع الجاذبية، كلما زاد الوزن الذي يعمل علي الزنبرك فإن كمية الإستطالة في الزنبرك تتناسب طرديا مع قوة التمدد أي مع زيادة وزن الكتلة، ثابت التناسب هو ثابت مرونة الزنبرك k هذه العلاقات تعرف بقانون هوك .

## الجويد باستخدام الجاذبية

وحيث ان الكتلة ثابتة ،فإن التغيرات في الوزن يكون سببها التغيرات في الجاذبية dg وبقياس التمدد في الزنبرك dl يمكن تحديد إختلافات الجاذبية .وبما ان الإختلافات في الجاذبية صغيرة جدا فإن التمدد في اي زنبرك صغير للغاية .

$$\begin{aligned} \text{Extension to spring} &= \text{mass} \times \frac{\text{change in gravity}}{\text{spring constant}} & \delta l &= \frac{m \delta g}{\kappa} \\ \text{Change in gravity} &= \text{constant} \times \text{extension/mass} & \delta g &= \kappa \delta l / m \end{aligned}$$

### 2-11-1-1 أجهزة قياس الجاذبية المترنة (الساكنة) :

يتكون جهاز قياس الجاذبية المترن من كتلة في نهاية عارضة ترتكز علي محور إرتكاز وتتنز بزنبرك مشدود في الطرف الآخر التغير في الجاذبية يؤثر يؤثر علي وزن الكتلة والتي تقابل ثقل الأتزان باسترجاع حركة الزنبرك .

وفيما يلي وصف مختصر لثلاثة أجهزة حديثة لقياس الجاذبية الساكنة :

#### أ- جهاز Askania :

عبارة عن ذراع مثبت في أحد طرفيه كتلة ويرتكز علي زنبرك رئيسي .التغيرات في الجاذبية تجعل الذراع يميل وبالتالي تسبب إنحراف في شعاع ضوء ينعكس علي مرآة موضوعة علي الكتلة .وتقاس الإزاحة في شعاع الضوء بواسطة خلية ضوئية كهربائية ،الخارج منها يعرض علي جلفانومتر .ويستخدم زنبرك إضافي يعاد شده باستخدام ميكرومتر لكي يرجع الكتلة إلي وضع الإتزان ،والذي يشار إليه عندما ترجع قراءة الميكرومتر إلي الصفر .

#### ب- جهاز Boliden :

يعتمد هذا النوع علي أساس أن كثافة المكثف ذو اللوحين المتوازيين تتغير مع المسافة الفاصلة بين اللوحين .الكتلة علي شكل بكرة فيها صفيحة عند كل طرف وتشد بواسطة زنبركين بين لوحين مكثف آخر وبتغير الجاذبية ،الكتلة تتحرك بالنسبة للألواح الثابتة فتتغير الكثافة بين اللوحين العلويين وهذه الحركة يمكن رصدها بسهولة بواسطة دائرة تناغم .تتصل الصفيحتين السفليتين بمصدر تيار مستمر والذي يعطي الكتلة الكوكبية تنافر كهروستاتيكي وبتغير الجاذبية وبالتالي إزاحة البكرة أو المكوك بالنسبة للألواح الثابتة فإن

## الجيويد باستخدام الجاذبية

الوضع الأصلي أو المرجعي يمكن الحصول عليه بتغيير فرق الجهد المستمر بين زوج الألواح السفلي تصل حساسية هذه الأجهزة 0.1 مللي جال .

### ج- جهاز (Gulf(hoyt) :

ويشتمل جهاز Gulf لقياس الجاذبية علي زنبرك شريطي حلزوني ملفوف يدور كلما تغير الطول وبالتالي فهو أكثر سهولة في القياس ،مدي القياس صغير جدا ،حيث يكون حوالي (30مللي جال)، بالرغم أنه يمكن التغلب علي هذا إلي حد ما بإعادة شد الزنبرك ،دقة القياسات تتراوح ما بين 0.02- 0.05 مللي جال .

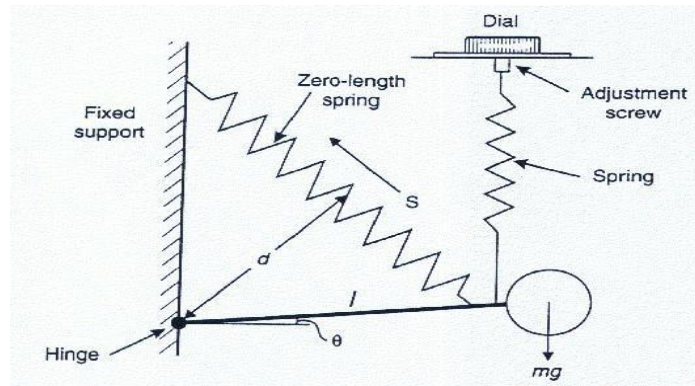
### 2-1-11-2 أجهزة قياس الجاذبية الغير متزنة (الغير ساكنة) :

منذ الثلاثينات وتستخدم أجهزة قياس الجاذبية الغير متزنة علي نطاق أوسع بكثير من الاجهزة المتزنة ففي حالة الأجهزة المتزنة بمجرد ما يضطرب النظام يرجع مرة أخرى لوضعه الأصلي بينما في حالة الاجهزة الغير متزنة فإنه يتحرك مبتعدا أكثر عن نقطة الأصل .

علي سبيل المثال إذا رفع قلم موضوع علي طاولة من أحد أطرافه وترك ليسقط فإن القلم سوف يرجع ليكون مسطح علي الطاولة.

علي أي حال لو بدأ القلم بالإتزان عند طرفه ثم اضطرب فإنه سوف يسقط أي أنه سوف يكون غير مستقر بدلا من أن يرجع إلي وضعه الساكن . أهم نقطة في عدم الإستقرار هي تكبير الحركة وبالتالي يصبح من السهل قياسها وهذه هي أساس فكرة جهاز قياس الجاذبية الغير مستقر .

هناك نماذج من أجهزة قياس الجاذبية تستخدم أجهزة مختلفة لتحقيق عدم الإتزان .



شكل (8-2) يوضح آلية عمل جهاز قياس الغير ثابت

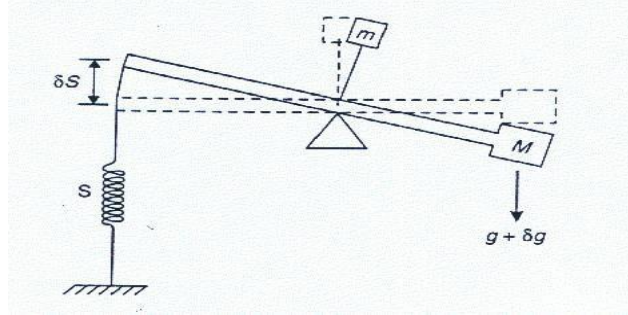
الشكل أعلاه يبين أساس تشغيل جهاز قياس الجاذبية (الغير ثابت ) يثبت ذراع أفقي تقريبا من أحد أطرافه بمفصل ويدعم كتلة في الطرف الثاني، يوصل الذراع إلي الزنبرك الرئيسي الذي هو متصل عند طرفه العلوي بدعامة فوق المفصل. الزنبرك يحاول جذب الذراع إلي أعلى عكس إتجاه عقارب الساعة بواسطة عزم العودة والذي يساوي قوة الإسترجاع في الزنبرك مضروبة في المسافة العمودية من المفصل (d) . عزم العودة هذا يتزن مع عزم العودة للجاذبية والذي يحاول دوران الذراع باتجاه عقارب الساعة حول المفصل وتساوي وزن الكتلة (mg) مضروبا في طول الذراع (l) ، ومضروبا في جيب تمام زاوية الذراع من الافقي (  $\phi$  ) . أي أن عند تغير الجاذبية سوف يتحرك الذراع كاستجابة لهذا التغير ولكن سوف يظل في موقعه الجديد لأن الزنبرك الرئيسي طوله صفر.

أحد مميزات هذا الزنبرك أنه تم صنعه رنان بحيث أن الشد في الزنبرك يتناسب طرديا مع طوله . وهذا يعني أنه لو جميع القوى قد ازيلت من الزنبرك فسوف يهوى إلي الطول الصفري ، وهو الشيء المستحيل عمليا . وميزة أخرى للزنبرك ذو الطول الصفري أنه يستخدم في جهاز خطي وإستجابته عالية جدا علي مدي كبير من قيم الجاذبية .

اجهزة قياس الجاذبية الغير ساكنة لا تقيس حركة الكتلة بدلالة التغير في الجاذبيتين ولكنها تتطلب عودة الكتلة المزاحة إلي وضع الصفر باستخدام الميكرومتر . قراءة الميكرومتر تضرب بمعامل معايرة الجهاز لتعطي قيمة الجاذبية ، عادة بدقة حوالي (0.01 مللي جال) .

### أ- جهاز Thyssen :

جهاز قياس الجاذبية هذا ، رغم أنه قديم جدا إلا أنه يوضح مفهوم عدم الإستقرار بصورة جيدة ولذلك ندرجه لغرض الإيضاح فقط . توضع كتلة إضافية فوق ذراع متزن لكي تسبب شرط عدم الإستقرار ، عند زيادة الجاذبية يميل الذراع يمينا وحركة الكتلة الإضافية تدعم الدوران في إتجاه عقارب الساعة حول المحور وبالعكس عند إنخفاض الجاذبية . وعند إستخدام هذا النوع من أجهزة قياس الجاذبية تكون الحساسية حوالي (0.25 مللي جال) .

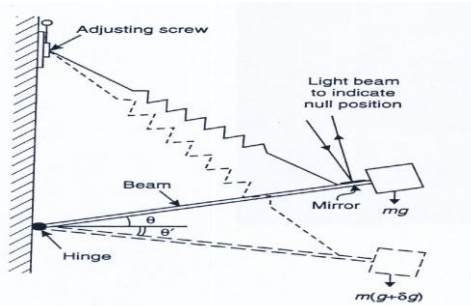


شكل (9-2) يوضح آلية عمل جهاز قياس Thysen

### ب- جهاز RombergLacoste :

هذا الجهاز هو تطوير للسيزموجراف (Lacoste) طويل المدى ذات الفترة الدورية الطويلة. الزنبرك مصنوع من معدن ذو خاصية توصيل حرارية عالية ولكنه لا يمكن عزله تماما لإلغاء التأثيرات الحرارية وبالتالي يجب دائما وضعه داخل حاوي بحيث يحتفظ بالحرارة داخله ثابتة إلي حوالي  $0.002\text{ C}$  بواسطة سيرموستات، يتم الحصول علي نقطة الصفر بمراقبة تدريج من خلال فتحة للعين التي ينعكس عليها شعاع من الضوء من الذراع عندما يكون في وضع ساكن. ولكي يرجع الذراع يقوم المشغل بتدوير جهاز قياس ميكرومتر علي الغطاء الخارجي والذي بدوره يؤدي إلي ضبط وضع الذراع. طول الذراع الكبير يعني أن جهاز قياس الجاذبية يمكن إستخدامه علي مستوي العالم بدون الحاجة لإخضاعه للرجوع إلي الوضع الأول، وهذه هي ميزة رئيسية علي جميع الاجهزة الاخرى .

عند صناعة هذا الجهاز في الثلاثينات كان وزنه ثقيل حوالي 30 كيلوجرام ولكن بإستخدام التقنيات الحديثة أصبح من الممكن تقليل وزنه إلي حوالي 2 كيلوجرام. الزنبرك يمكن أن يغلف (يثبت) وبالتالي جهاز قياس الجاذبية يكون اكثر سهولة في النقل عن الاجهزة الأخرى وأيضا أقل حساسية للإهتزازات .



شكل (10-2) يوضح آلية عمل جهاز RombergLacoste

### ج- جهاز Worden :

عكس جهاز قياس الجاذبية من نوع Lacoste-Romberg فإن Worden يصنع كاملا من زنبرك زجاج كوارتز وقضبان وألياف تركيب الكوارتز يجعله أكثر سهولة في تقليل تأثيرات الحرارة. لدى هذا الجهاز زنبركين إضافيين ، واحد للضبط الخشن والثاني للضبط الدقيق . وتوضع كل المحتويات في قارورة زجاجية مفرغة الهواء وفي بعض الأنواع يوجد بها ثيرموستات كهربائي .وبما أن الزنبرك لا يمكن تثبيته لذلك فإن جهاز قياس الجاذبية من نوع Worden حساس للإهتزازات ويجب نقله بعناية فائقة .مدي هذا الجهاز حوالي 2000 مللي جال ودقته حوالي (0.01-0.02 ملي جال) .

علي أي حال أجهزة جاذبية الكوارتز قد تكون صعبة جدا للمشغلين المبتدئين والدقة العملية قد تكون (0.1).

### صور لبعض انواع الاجهزة:-



شكل (2-13) يوضح جهاز Burris Gravity Meter



شكل (2-12) يوضح جهاز

FG5-X Absolute Gravimeter

### 12-2 الإجراءات الحقلية في الجاذبية :

#### 1-12-2 تأثير المد والجزر :

يؤثر جذب كل من القمر والشمس علي قياسات الجاذبية الأرضية حيث تقع القياسات تحت تأثير تغير دوري (كل 12 ساعة) في مجال الجاذبية الأرضية يصل إلي 0.2 مللي جال. وجذب القمر أكبر تأثيراً من جذب الشمس علي مجال الجاذبية الأرضية. وهناك طريقتان لإلغاء تأثير المد والجزر علي قياسات أجهزة الجرافيميتير. الأولى منها هي التكرار الدوري لقياسات الجاذبية الأرضية عند نقطة أو أكثر من محطات الجاذبية المطلقة أو الأساسية وفي زمن يقل عن 6 ساعات. وفي هذه الحالة فإن تصحيح انحراف الجهاز يشمل في الوقت نفسه تصحيح تأثير مد الجزر، أما الطريقة الثانية فهي استخدام جداول المد والجزر .

وتصحيح تأثير المد والجزر، يمكن حسابه بعد إجراء التكرار الدوري للقياسات علي نقطتين أو أكثر من محطات الجاذبية المطلقة أو الأساسية، واستخدام الرسم البياني للعلاقة بين تغير قيم الجاذبية الأرضية عند محطات تكرار القياسات وزمن القياسات أو باستخدام الحسابات وبرامج خاصة بتقويم بيانات قياسات الجاذبية الأرضية. ويتيح استخدام الحاسبات وبرامج تقويم البيانات حساب قيم التصحيحات وحساب القيم الصحيحة للجاذبية الأرضية عند نقطة القياسات ويجري تقويم بيانات عجلة الجاذبية الأرضية قبل إجراء أي نوع آخر من التصحيحات .

#### 2-12-2 تأثير إزاحة الجهاز :

قراءة الجرافيميتير عند أي نقطة تعتمد علي (dial scale) وتعتمد علي العلاقة بالقيمة المطلقة للجاذبية عند هذه النقطة .

إذا نقل الجرافيميتير لوضع ساعات أو حتي ترك في مكان واحد ثم يقرأ مرة أخرى فيما بعد عند نفس المكان يلاحظ تغير في القراءة .

إذا أخذت قراءات إضافية عبر فترة من الساعات في نفس المكان ثم رسمت الجاذبية مقابل الزمن سوف نجد أن النقط تميل للسقوط علي منحنى أملس . هذا التغير المستمر في قراءات الجاذبية مع الزمن يعرف بالإزاحة (drift). ويحدث بناء علي حقيقة أن زنبرك الجرافيميتير ليس مرناً ولكنه معرض لتغير بطيء

## الجيويد باستخدام الجاذبية

عبر الفترات الطويلة . الطريقة المعتادة لتصحيح الانحراف التدريجي هو تكرار القراءات عند محطة الأساس في فترات من 1-2 ساعة . من منحني الانحراف نحصل علي قراءة الأساس والتي نطرحها من قراءة المحطة لنحصل علي فرق الجاذبية .

بما أن جميع قراءات الجرافيميتير ذات تدرج عشوائي لذلك تكون المعاييرة ضرورية لكي نعبر عن هذه التدريجات بالملي جال . الطريقة المعتادة لإختيار ثابت المعاييرة هي قراءة الجرافيميتير عند محطتين يكون فرق الجاذبية بينهما معروف بدقة من قياسات البندول . بعد تصحيح الانحراف التدريجي ، نحصل علي فرق الجاذبية بين نقطة المشاهدة ومحطة الأساس بضرب القراءة في معامل المعاييرة للجرافيميتير . وبمعلومية الفرق في الجاذبية يمكن حساب الجاذبية المطلقة عند نقطة المشاهدة من الجاذبية عند محطة الأساس المعروفة .

### 3-12-2 المسافة بين المحطات :

يخطط لوضع محطات الجرافيميتير كلما أمكن في أركان المربع ، طول الشبكة (S) تعتمد أساسا علي العمق (H) للمعلومات الجيولوجية المطلوبة. ( $S \leq H$ ) في المسح الواسع تتراوح S من بضع كيلومترات إلي عشرات الكيلومترات . أما في المدي الصغير تتراوح S من 10 إلي 100 متر . وبالنسبة لإستكشافات البترول يكون المدي حوالي 1 كيلو متر. نحاول أن نتجنب وضع المحطات بالقرب من الهيئات الطبوغرافية التي قد تؤثر بشكل كبير علي قراءات الجرافيميتير .

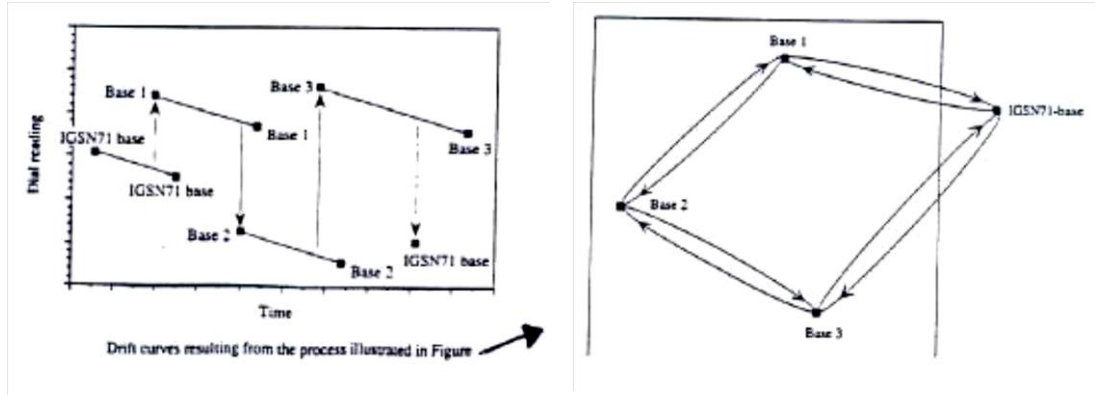
### 4-12-2 إنشاء محطة القاعدة :

عادة من المفضل ربط قياسات الجاذبية بنوع ذو جاذبية مطلقة معروفة بدقة لذلك يجب أن نجد أقرب IGSN71 أو FGBS المحلية ثم ننسب القياسات إلي قيم IGSN71 أو FGBS بالرغم من أن ذلك للمسح المحدودة المحلية لأن هذه المسح تبحث عن تغيرات الجاذبية ، ولكن بالنسبة للأغراض البحثية ،يفضل ربط المحطات بال-IGSN71 .

لعمل ذلك ،نفترض معدل إنحراف تدريجي خطي والفترات الزمنية البينية قصيرة بحيث أن تغييرات المد والجزر تدخل في منحنيات الانحراف التدريجي كتغييرات خطية ،طريقة التكرار تبدأ عند محطة IGSN71 وبعد الحصول علي قراءة هناك ،تعتبر محطة القاعدة 1 ثم تتابع بالعودة إلي محطة IGSN71 ،التسلسل يعطي فروق الجاذبية النسبية بين المحطتين بعد تصحيح الانحراف التدريجي .وبما أن قيم الجاذبية

## الجيويد باستخدام الجاذبية

المطلقة معروفة في محطة ال-IGSN71 إذا نعرف القيمة المطلقة للجاذبية في محطة القاعده 2، وهكذا نحدد قيمة الجاذبية المطلقة عند المحطة 3، العملية النهائية تستخدم محطة القاعده 3 لمعرفة قيمة المحطة IGSN71، نادرا ما تكون هذه القيمة مثل القيمة المنشأة أصلا والفرق يعطي كمية مؤشر الخطأ في قياسات محطة القاعده من 1 إلى 3 .



شكل (2-14) يوضح كمية مؤشر الخطأ

### 5-12-2 تحديد الإرتفاعات:

يجب معرفة إرتفاع المحطة في مدي من (25-30) سم لكي تحتفظ قيم شدوذ بوجير بدقة أفضل من 0.1 مللي جال. تبين الخرائط الطبوغرافية مواقع علامات المنصات (Benchmarks) وهي نقطة مقاسة الإرتفاع بدرجة عالية من الدقة، علامات المنصات هي أنبوب إسطواني من النحاس الأصفر مثبتة في خرسانة وتعتبر نقطة مرجعية للمسح المتنقل، نقاط أخرى (تسمى نقط الإرتفاع) توضح علي معظم الخرائط الطبوغرافية وهي نقط تم تحديد الإرتفاعات عندها. بالرغم من أن هذه النقط توضع في مواقع سهلة التعريف مثل تقاطع الطرق إلا أن النقطة نفسها لا تعرف في الحقل وبالتالي فهناك إحتمال خطأ كبير. حديثا يستخدم نظام تحديد المواقع العالمي (GPS).

### 13-2 تصحيحات الجاذبية:

تتأثر الأرض بقوى التجاذب من القمر والشمس وعلي ضوء ذلك يحصل لها تشوهات من فترة لأخرى. مما يترتب عليه تأثر قيم الجاذبية عند أي نقطة بهذه التشوهات. علاوة على ذلك تتغير قيمة الجاذبية من موقع لآخر. وتتغير القراءات أيضا في نفس الموقع. وهذا الفرق يعرف بشذوذ الجاذبية. على ضوء هذه التغيرات تصحح قراءات الجاذبية الأرضية للعوامل التالية:

- قوة جذب الأرض
- قوة الطرد المركزية (تكون أعلى ما يمكن عند خط الإستواء)
- نصف قطر الأرض عند خط الإستواء أكبر منه عند الأقطاب
- شكل الكتل الأرضية وتغير طبوغرافية الأرض من موقع لآخر
- موقع جهاز الرصد من مستوي سطح البحر
- تغير كثافة الاجسام بين جهاز الرصد ومستوي سطح البحر
- الجذور الخفيفة الكثافة للقارات والجبال العالية
- الجذور العكسية العالية الكثافة للمحيطات

بعد الإنتهاء من إجراء قياسات الجاذبية الأرضية، فإنه لمقارنة هذه القياسات مع قيم الجاذبية القياسية عند نقطة القياس يلزم إجراء بعد التصحيحات على قيم الجاذبية الأرضية المقاسة قبل إستخدامها في الأغراض العلمية البحثية والإقتصادية المختلفة، وتجري هذه التصحيحات للوصول بقيم الجاذبية الأرضية المقاسة إلي الدقة المطلوبة لهذه الدراسات. وتهدف هذه التصحيحات أولا إلي التخلص من عدد من الظواهر المؤثرة في دقة القياسات. وثانيا نسبة القياسات إلي مستوي معين من سطح الأرض يؤخذ كمرجع عام لتلك النوعية من القياسات وتشمل مايلي:

أولا تصحيحات الانحراف للأجزاء المرنة بأجهزة القياسات وكذلك تأثير المد والجزر وهي مايلزم إجراؤها قبل إرجاع قيمة الجاذبية الأرضية إلي المستوي المرجعي الثابت.

ثانيا تصحيحات تساعد في حساب قيم الجاذبية الأرضية وإرجاع قيمها إلي مستوي ثابت تم إختياره لها الغرض (تصحيح خط العرض - الهواء الحر - بوجير - التضاريس).

### 1-13-2 تصحيح خط العرض:

يعمل هذا التصحيح لإزالة زيادة الجاذبية من خط الإستواء إلي الأقطاب. تتغير الجاذبية مع خط العرض بسبب الشكل الإهليجي للأرض وبسبب السرعة الزاوية لأي نقطة على سطح الأرض تصل الحد الأعلى عند خط الإستواء وتصل إلي الصفر عند الأقطاب.

## الجويود باستخدام الجاذبية

وكما سبق ذكره أن هناك زيادة قدرها 21 كلم في نصف القطر الإستوائي عنه عند الأقطاب وبالتالي نجد أن النقاط بالقرب من خط الإستواء أبعد من مركز الأرض عنها عند الأقطاب مسببة زيادة في الجاذبية من خط الإستواء باتجاه الأقطاب. وعلي ضوء ذلك نجد أن

هذا التصحيح يطرح أو يجمع لفرق الجاذبية المقاسة اعتمادا علي موقع خط عرض المحطة من محطة القاعدة. (يجمع التصحيح إذا كانت المحطة شمال محطة القاعدة ويطرح إذا كانت المحطة جنوب محطة القاعدة).

### 2-13-2 تصحيح الهواء الحر:

لمقارنة قيم عجلة الجاذبية الأرضية المقاسة علي سطح الأرض مع قيم عجلة الجاذبية القياسية أختير سطح الجويود كأفضل مستوي يمثل درجة تقريب عالية لشكل الأرض .

ولإجراء المقارنة بين قيم الجاذبية الأرضية المقاسة وقيم الجاذبية الأرضية القياسية عند سطح الجويود حيث يجري تصحيح القياسات تبعا لقيم هذه الإرتفاعات .

ويهدف تصحيح الهواء الحر إلي العودة بقيم الجاذبية الأرضية التي قلت قيمتها مع زيادة الإرتفاعات إلي قيمتها الحقيقية ،وتأخذ فقط قيمة الإرتفاع ( $h$ ) في الإعتبار عند إجراء هذا التصحيح .وتضاف قيمة هذا التصحيح إلي القيمة المقاسة قبل مقارنتها مع القيمة القياسية لعجلة الجاذبية الأرضية .وقد اخذ في الإعتبار لحساب قيمة هذا التصحيح كروية الأرض وتجانسها ووجد أن قيمة الجاذبية الأرضية تقل بمقدار 0.3086 مللي جال/م ،أي يلزم إضافة تصحيح قدره ( $0.3086h$ ) مللي جال لقيمة عجلة الجاذبية الأرضية المقاسة ،حيث  $h$  هي قيمة الإرتفاع عن متوسط سطح البحر مقدره بالمتر .

يضاف تصحيح الهواء الحر إلي الجاذبية المقاسة إذا كان موقع المحطة فوق مستوي سطح البحر أو السطح المرجعي أو محطة القاعدة وتطرح إذا كان العكس .بعد إجراء تصحيح الهواء الحر يمكن حساب مايسي بشاذة الفراغ بطرح قيمة عجلة الجاذبية النظرية من قيمة عجلة الجاذبية الأرضية المقاسة بعد التصحيح .كما يمكن إنشاء خرائط تسمى خرائط الهواء الحر .وتستخدم هذه الخرائط في بعض الدراسات والبحوث الخاصة بدراسة باطن الأرض .

### 2-13-3 تصحيح بوجير:

يهدف تصحيح بوجير إلي العودة بقيمة الجاذبية الأرضية المقاسة إلي قيمتها الحقيقية أخذا في الإعتبار جذب المادة الصخرية بين محطة القياس وسطح الجويود بالإضافة إلي تأثير الجهاز نفسه. وقد سمي هذا التصحيح بتصحيح بوجير نسبة إلي العالم الرياضي الفرنسي بيير بوجير الذي حاول تعيين شكل الأرض. وتطرح قيمة التصحيح من القيمة المقاسة في حالة انخفاض محطة القياس عن سطح الجويود. هذا التصحيح يمثل بقيم سالبة فوق المناطق الجبلية وقيم موجبة في قيعان البحر عكس تصحيح الهواء الحر .

بعد إجراء تصحيحات البوجير يمكن حساب ما يسمى شاذة بوجير بطرح قيمة عجلة الجاذبية القياسية من قيمة عجلة الجاذبية الأرضية المقاسة بعد إجراء كل مكن تصحيحي الفراغ والبوجير. كما يمكن إنشاء خرائط البوجير. وتستخدم هذه الخرائط في بحوث وتطبيقات علم الجاذبية الأرضية .

### 2-13-4 تصحيح التضاريس:

لإجراء قياسات دقيقة لعجلة الجاذبية الأرضية ،ينبغي وضع تصحيح قيمة عجلة الجاذبية الأرضية المقاسة بالنسبة لطبوغرافية المنطقة المحيطة في الإعتبار ويسمي ذلك تصحيح التضاريس .

وتستلزم الضرورة إجراء هذا التصحيح للوصول بقياسات عجلة الجاذبية الأرضية إلي دقة عالية تتطلبها بعض الدراسات. وتأتي أهمية هذا التصحيح نظرا لأن قيمة تصحيح البوجير تكون عالية نسبيا في حالة قرب محطات قياس الجاذبية الأرضية من الوديان ،نظرا لإشتمال تصحيح البوجير علي جذب المادة الصخرية. وحيث أن المادة الصخرية غير موجودة ،فإنه يلزم إضافة تصحيح التضاريس لإلغاء جذب المادة الصخرية ،أيضا في محطات القياس القريبة من الجبال تكون قيمة الجاذبية الأرضية المقاسة أصغر من قيمتها الحقيقية ،وبالتالي فإنه يلزم إضافة تصحيح التضاريس للحصول علي القيمة الصحيحة .

ويجري حساب تصحيح التضاريس باستخدام تنظيم خاص يمكن من حساب متوسطات الإرتفاعات من الخرائط الطبوغرافية وإستخدام معادلات خاصة. ويضاف تصحيح التضاريس لقيمة تصحيح البوجير. ويتم إنشاء خرائط البوجير بعد إجراء هذه التصحيحات .

### الباب الثالث

## الحسابات والنتائج

### 1-3 الحسابات:

تتم اجراء العمليات الحسابية (المعادلات اللازمة) لحساب الجيود باستخدام معادلة ستوكس ( STOKE'S Formula ) ويوجد منها عدة طرق لحساب ارتفاع الجيود من أهمها :

• الطريقة ال( template)

• طريقة ال( Grid) المربعات

سيتم استخدام طريقة المربعات ( grids) لحساب الارتفاع وذلك بتقسيم منطقة البحث الي مربعات (شبه مربعات ) ذات ابعاد (10×10) دقائق . يتم حساب ارتفاع الجيود للنقاط عن طريق معادلة ستوكس المعدلة وهي تتم في الخطوات التالية :

1- يتم حساب متوسط الجاذبية لكل مربع ( $\Delta g$ ) وذلك بجمع قراءات الجاذبية للاربعة نقاط المكونة للمربع (الاركان) حسب المعادلة (1):

$$\Delta g = \frac{g_1+g_2+g_3+g_4}{4} \text{ -----(1-3)}$$

2- يتم حساب احداثيات مركز المربع بطريقة الأستكمال البيني أو بأي طريقة رياضية أخرى معروفة .

3- يتم حساب المسافة الكروية ( $\psi$ ) (spherical Distance) بين المراد حساب أرتفاع الجيود عندها ومركز المربعات المحسوب منها عن طريق المعادلة (2):

$$\psi = \cos^{-1}\{\sin\theta_0 \sin\theta + \cos\theta_0 \cos\theta \cos(\lambda - \lambda_0)\} \text{ -----(2-3)}$$

4- يتم حساب دالة ستوكس  $S(\psi)$  من المعادلة (3):

$$S(\psi) = \frac{1}{\sin\frac{\psi}{2}} - 6 \sin\frac{\psi}{2} + 1 - 5 \cos\psi - 3 \cos\psi * \ln\left(\sin\frac{\psi}{2} + \sin 2\frac{\psi}{2}\right) \text{ -----}$$

(3-3)

- 5- يتم حساب ابعاد كل مربع أو فروق خطوط الطول ودوائر العرض  $d\lambda$  و  $d\theta$  .  
 6- يتم حساب  $Q$  لكل مربع من المعادلة (4) :

$$Q = \Delta g * S(\psi) * d\theta * d\lambda * \cos\theta \text{ -----(4-3)}$$

7- يتم حساب ارتفاع الجيويد للنقاط عن طريق مجموع الـ  $Q$  لجميع النقاط من المعادلة (5):

$$N = \frac{R}{4\pi G} * \sum Q \text{ -----(5-3)}$$

### 2-3 النتائج :

يتم تقسيم المساحة المدروسة إلى قطاعات أو مربعات ( Grids ) ومن ثم يتم التعامل مع كل وحدة مربعة علي حده وذلك كما في الشكل (1-3) التالي :



الشكل ( 1-3 ) يبين المساحة المدروسة مع النقاط المراد حساب ارتفاع الجيويد عنده

|       |       |       |       |       |       |       |       |       |       |
|-------|-------|-------|-------|-------|-------|-------|-------|-------|-------|
| 10673 | 10674 | 10675 | 10676 | 10677 | 10678 | 10679 | 10680 | 10681 | 10682 |
|       | Q1    | Q2    | Q3    | Q4    | Q5    | Q6    | Q7    | Q8    | Q9    |
| 11094 |       |       |       |       |       |       |       |       | 11103 |
|       | Q10   | Q11   | Q12   | Q13   | Q14   | Q15   | Q16   | Q17   | Q18   |
| 11515 |       |       |       |       |       |       |       |       | 11524 |
|       | Q19   | Q20   | Q21   | Q22   | Q23   | Q24   | Q25   | Q26   | Q27   |
| 11936 |       |       |       |       |       |       |       |       | 11945 |
|       | Q28   | Q29   | Q30   | Q31   | Q32   | Q33   | Q34   | Q35   | Q36   |
| 12357 | 12358 | 12359 | 12360 | 12361 | 12362 | 12363 | 12364 | 12365 | 12366 |

الشكل (2-3) يبين تقسيم المساحة المدروسة الي مربعات (Grids)

تم إجراء الخطوات (المعادلات) أعلاه لحساب اربعة نقاط مختلفة في منطقة الدراسة ، ثم حساب قيمة ارتفاع الجيويد من عدد من المربعات (28) مربع .

وتم استخراج نتائج الحساب لكل نقطة كما موضح في الجداول ادناه :

### 1-2-3 النقطة 1 C.P :

الجدول (1-3) يوضح احداثيات 1 computation point

| Computation point | Latitude ( $\phi$ ) | Longitude ( $\lambda$ ) |
|-------------------|---------------------|-------------------------|
| 1                 | 15.558668           | 32.538658               |

## الجويود باستخدام الجاذبية



الشكل (2-3) يبين موقع النقطة (1) computation point بالنسبة للشبكة

النقطة 1 C.P تم حساب ارتفاع الجويود عندها ، وذلك باستخدام المربعات (Q) وهي :

الجدول (2-3) يبين حسابات النقطة (1) computation point للوصول لقيمة Q

| Q ID | point ID | E       | N       | FreeAir | Elevation | $Q = \Delta g.S(\psi). D\phi.$<br>$D\lambda.\cos \theta$ |
|------|----------|---------|---------|---------|-----------|--|
| Q10  | 11094    | 15.5795 | 32.4583 | -1.2    | 385       |  |
|      | 11095    | 15.5795 | 32.475  | -1.1    | 377       | -0.56377963  |
|      | 11515    | 15.5634 | 32.4583 | -1.4    | 383       |  |
|      | 11516    | 15.5634 | 32.475  | -1.6    | 377       |  |

## الجبرود باستخدام الجاذبية

|     |       |         |         |      |     |              |
|-----|-------|---------|---------|------|-----|--------------|
| Q19 | 11515 | 15.5634 | 32.4583 | -1.4 | 383 |              |
|     | 11516 | 15.5634 | 32.475  | -1.6 | 377 | -0.697798168 |
|     | 11936 | 15.5474 | 32.4583 | -1.6 | 379 |              |
|     | 11937 | 15.5474 | 32.475  | -1.9 | 377 |              |
| Q28 | 11936 | 15.5474 | 32.4583 | -1.6 | 379 |              |
|     | 11937 | 15.5474 | 32.475  | -1.9 | 377 | -0.771158267 |
|     | 12357 | 15.5313 | 32.4583 | -1.7 | 377 |              |
|     | 12358 | 15.5313 | 32.475  | -2.2 | 377 |              |
| Q11 | 11095 | 15.5795 | 32.475  | -1.1 | 377 |              |
|     | 11096 | 15.5795 | 32.4917 | -0.8 | 375 | -0.669595064 |
|     | 11516 | 15.5634 | 32.475  | -1.6 | 377 |              |
|     | 11517 | 15.5634 | 32.4917 | -1.4 | 377 |              |
| Q20 | 11516 | 15.5634 | 32.475  | -1.6 | 377 |              |
|     | 11517 | 15.5634 | 32.4917 | -1.4 | 377 | -0.961591916 |
|     | 11937 | 15.5474 | 32.475  | -1.9 | 377 |              |
|     | 11938 | 15.5474 | 32.4917 | -2   | 381 |              |
| Q29 | 11937 | 15.5474 | 32.475  | -1.9 | 377 |              |
|     | 11938 | 15.5474 | 32.4917 | -2   | 381 | -1.123160654 |
|     | 12358 | 15.5313 | 32.475  | -2.2 | 377 |              |
|     | 12359 | 15.5313 | 32.4917 | -2.4 | 383 |              |
| Q12 | 11096 | 15.5795 | 32.4917 | -0.8 | 375 |              |
|     | 11097 | 15.5795 | 32.5083 | -0.3 | 381 | -0.679018913 |
|     | 11517 | 15.5634 | 32.4917 | -1.4 | 377 |              |
|     | 11518 | 15.5634 | 32.5083 | -1.1 | 388 |              |
| Q21 | 11517 | 15.5634 | 32.4917 | -1.4 | 377 |              |
|     | 11518 | 15.5634 | 32.5083 | -1.1 | 388 | -1.243314906 |
|     | 11938 | 15.5474 | 32.4917 | -2   | 381 |              |
|     | 11939 | 15.5474 | 32.5083 | -1.8 | 383 |              |
| Q30 | 11938 | 15.5474 | 32.4917 | -2   | 381 |              |
|     | 11939 | 15.5474 | 32.5083 | -1.8 | 383 | -1.522783614 |
|     | 12359 | 15.5313 | 32.4917 | -2.4 | 383 |              |

الجبرود باستخدام الجاذبية

|     |       |         |         |      |     |              |
|-----|-------|---------|---------|------|-----|--------------|
|     | 12360 | 15.5313 | 32.5083 | -2.4 | 385 |              |
|     |       |         |         |      |     |              |
| Q4  | 10676 | 15.5955 | 32.5083 | 0.5  | 383 |              |
|     | 10677 | 15.5955 | 32.525  | 1.3  | 385 | 0.373252466  |
|     | 11097 | 15.5795 | 32.5083 | -0.3 | 381 |              |
|     | 11098 | 15.5795 | 32.525  | 0.3  | 385 |              |
|     |       |         |         |      |     |              |
| Q13 | 11097 | 15.5795 | 32.5083 | -0.3 | 381 |              |
|     | 11098 | 15.5795 | 32.525  | 0.3  | 385 | -0.511910808 |
|     | 11518 | 15.5634 | 32.5083 | -1.1 | 388 |              |
|     | 11519 | 15.5634 | 32.525  | -0.6 | 385 |              |
|     |       |         |         |      |     |              |
| Q5  | 10677 | 15.5955 | 32.525  | 1.3  | 385 |              |
|     | 10678 | 15.5955 | 32.5417 | 2.1  | 385 | 1.189974538  |
|     | 11098 | 15.5795 | 32.525  | 0.3  | 385 |              |
|     | 11099 | 15.5795 | 32.5417 | 1    | 385 |              |
|     |       |         |         |      |     |              |
| Q23 | 11519 | 15.5634 | 32.525  | -0.6 | 385 |              |
|     | 11520 | 15.5634 | 32.5417 | 0    | 385 | -3.771382652 |
|     | 11940 | 15.5474 | 32.525  | -1.5 | 385 |              |
|     | 11941 | 15.5474 | 32.5417 | -1   | 385 |              |
|     |       |         |         |      |     |              |
| Q32 | 11940 | 15.5474 | 32.525  | -1.5 | 385 |              |
|     | 11941 | 15.5474 | 32.5417 | -1   | 385 | -2.459941113 |
|     | 12361 | 15.5313 | 32.525  | -2.2 | 385 |              |
|     | 12362 | 15.5313 | 32.5417 | -1.9 | 385 |              |
|     |       |         |         |      |     |              |
| Q6  | 10678 | 15.5955 | 32.5417 | 2.1  | 385 |              |
|     | 10679 | 15.5955 | 32.5583 | 2.9  | 385 | 1.864737356  |
|     | 11099 | 15.5795 | 32.5417 | 1    | 385 |              |
|     | 11100 | 15.5795 | 32.5583 | 1.8  | 385 |              |
|     |       |         |         |      |     |              |
| Q15 | 11099 | 15.5795 | 32.5417 | 1    | 385 |              |
|     | 11100 | 15.5795 | 32.5583 | 1.8  | 385 | 1.496402675  |
|     | 11520 | 15.5634 | 32.5417 | 0    | 385 |              |
|     | 11521 | 15.5634 | 32.5583 | 0.6  | 387 |              |
|     |       |         |         |      |     |              |
| Q24 | 11520 | 15.5634 | 32.5417 | 0    | 385 |              |

الجبرود باستخدام الجاذبية

|     |       |         |         |      |     |              |
|-----|-------|---------|---------|------|-----|--------------|
|     | 11521 | 15.5634 | 32.5583 | 0.6  | 387 | -0.515382393 |
|     | 11941 | 15.5474 | 32.5417 | -1   | 385 |              |
|     | 11942 | 15.5474 | 32.5583 | -0.4 | 385 |              |
|     |       |         |         |      |     |              |
| Q33 | 11941 | 15.5474 | 32.5417 | -1   | 385 |              |
|     | 11942 | 15.5474 | 32.5583 | -0.4 | 385 | -1.56843677  |
|     | 12362 | 15.5313 | 32.5417 | -1.9 | 385 |              |
|     | 12363 | 15.5313 | 32.5583 | -1.4 | 385 |              |
|     |       |         |         |      |     |              |
| Q7  | 10679 | 15.5955 | 32.5583 | 2.9  | 385 |              |
|     | 10680 | 15.5955 | 32.575  | 3.6  | 385 | 2.031357715  |
|     | 11100 | 15.5795 | 32.5583 | 1.8  | 385 |              |
|     | 11101 | 15.5795 | 32.575  | 2.5  | 387 |              |
|     |       |         |         |      |     |              |
| Q16 | 11100 | 15.5795 | 32.5583 | 1.8  | 385 |              |
|     | 11101 | 15.5795 | 32.575  | 2.5  | 387 | 1.550052358  |
|     | 11521 | 15.5634 | 32.5583 | 0.6  | 387 |              |
|     | 11522 | 15.5634 | 32.575  | 1.3  | 387 |              |
|     |       |         |         |      |     |              |
| Q25 | 11521 | 15.5634 | 32.5583 | 0.6  | 387 |              |
|     | 11522 | 15.5634 | 32.575  | 1.3  | 387 | 0.463806315  |
|     | 11942 | 15.5474 | 32.5583 | -0.4 | 385 |              |
|     | 11943 | 15.5474 | 32.575  | 0.2  | 387 |              |
|     |       |         |         |      |     |              |
| Q8  | 10680 | 15.5955 | 32.575  | 3.6  | 385 |              |
|     | 10681 | 15.5955 | 32.5917 | 4.4  | 381 | 1.966646599  |
|     | 11101 | 15.5795 | 32.575  | 2.5  | 387 |              |
|     | 11102 | 15.5795 | 32.5917 | 3.2  | 381 |              |
|     |       |         |         |      |     |              |
| Q17 | 11101 | 15.5795 | 32.575  | 2.5  | 387 |              |
|     | 11102 | 15.5795 | 32.5917 | 3.2  | 381 | 1.498416026  |
|     | 11522 | 15.5634 | 32.575  | 1.3  | 387 |              |
|     | 11523 | 15.5634 | 32.5917 | 2    | 383 |              |
|     |       |         |         |      |     |              |
| Q26 | 11522 | 15.5634 | 32.575  | 1.3  | 387 |              |
|     | 11523 | 15.5634 | 32.5917 | 2    | 383 | 0.739807567  |
|     | 11943 | 15.5474 | 32.575  | 0.2  | 387 |              |
|     | 11944 | 15.5474 | 32.5917 | 0.8  | 387 |              |

## الجبريد باستخدام الجاذبية

|     |       |         |         |      |     |             |
|-----|-------|---------|---------|------|-----|-------------|
| Q35 | 11943 | 15.5474 | 32.575  | 0.2  | 387 |             |
|     | 11944 | 15.5474 | 32.5917 | 0.8  | 387 | -0.01584907 |
|     | 12364 | 15.5313 | 32.575  | -0.8 | 387 |             |
|     | 12365 | 15.5313 | 32.5917 | -0.3 | 387 |             |
| Q8  | 10681 | 15.5955 | 32.5917 | 4.4  | 381 |             |
|     | 10682 | 15.5955 | 32.6083 | 5    | 387 | 1.858892635 |
|     | 11102 | 15.5795 | 32.5917 | 3.2  | 381 |             |
|     | 11103 | 15.5795 | 32.6083 | 3.9  | 387 |             |
| Q18 | 11102 | 15.5795 | 32.5917 | 3.2  | 381 |             |
|     | 11103 | 15.5795 | 32.6083 | 3.9  | 387 | 1.453715068 |
|     | 11523 | 15.5634 | 32.5917 | 2    | 383 |             |
|     | 11524 | 15.5634 | 32.6083 | 2.7  | 385 |             |
| Q27 | 11523 | 15.5634 | 32.5917 | 2    | 383 |             |
|     | 11524 | 15.5634 | 32.6083 | 2.7  | 385 | 0.875309817 |
|     | 11944 | 15.5474 | 32.5917 | 0.8  | 387 |             |
|     | 11945 | 15.5474 | 32.6083 | 1.5  | 383 |             |
| Q36 | 11944 | 15.5474 | 32.5917 | 0.8  | 387 |             |
|     | 11945 | 15.5474 | 32.6083 | 1.5  | 383 | 0.287576171 |
|     | 12365 | 15.5313 | 32.5917 | -0.3 | 387 |             |
|     | 12366 | 15.5313 | 32.6083 | 0.4  | 385 |             |

$$\sum Q = 0.574843367$$

$$N = \frac{6371}{4 \times \pi \times 98.1} * 0.574843367 = \underline{\underline{2.97233998 \text{ m}}}$$

**2-2-3 النقطة C.P 2 :**

الجدول (3-3) يوضح احداثيات computation point 2

| Computation point | Latitude ( $\theta$ ) | Longitude ( $\lambda$ ) |
|-------------------|-----------------------|-------------------------|
| 2                 | 15.586267             | 32.536339               |



الشكل (4-3) يبين موقع النقطة (2) computation point بالنسبة للشبكة

النقطة C.P 2 تم حساب ارتفاع الجويود عندها ، وذلك باستخدام المربعات (Q) وهي :

الجدول (4-3) يبين حسابات النقطة (2) computation point للوصول لقيمة Q

| No | Q ID | point ID | E       | N       | Free Air | Elevation | $Q = \Delta g \cdot S(\psi) \cdot D\theta \cdot D\lambda \cdot \cos \theta$ |
|----|------|----------|---------|---------|----------|-----------|---|
| 1  | Q1   | 10673    | 15.5955 | 32.4583 | -0.8     | 389       |   |

## الجبرود باستخدام الجاذبية

|   |     |       |         |         |      |     |           |
|---|-----|-------|---------|---------|------|-----|-----------|
|   |     | 10674 | 15.5955 | 32.475  | -0.6 | 381 | -0.240563 |
|   |     | 11094 | 15.5795 | 32.4583 | -1.2 | 385 | 0         |
|   |     | 11095 | 15.5795 | 32.475  | -1.1 | 377 | 0         |
|   |     |       |         |         |      |     | 0         |
| 2 | Q10 | 11094 | 15.5795 | 32.4583 | -1.2 | 385 | 0         |
|   |     | 11095 | 15.5795 | 32.475  | -1.1 | 377 | -0.343958 |
|   |     | 11515 | 15.5634 | 32.4583 | -1.4 | 383 | 0         |
|   |     | 11516 | 15.5634 | 32.475  | -1.6 | 377 | 0         |
|   |     |       |         |         |      |     | 0         |
| 3 | Q19 | 11515 | 15.5634 | 32.4583 | -1.4 | 383 | 0         |
|   |     | 11516 | 15.5634 | 32.475  | -1.6 | 377 | -0.408411 |
|   |     | 11936 | 15.5474 | 32.4583 | -1.6 | 379 | 0         |
|   |     | 11937 | 15.5474 | 32.475  | -1.9 | 377 | 0         |
|   |     |       |         |         |      |     | 0         |
| 4 | Q28 | 11936 | 15.5474 | 32.4583 | -1.6 | 379 | 0         |
|   |     | 11937 | 15.5474 | 32.475  | -1.9 | 377 | -0.448864 |
|   |     | 12357 | 15.5313 | 32.4583 | -1.7 | 377 | 0         |
|   |     | 12358 | 15.5313 | 32.475  | -2.2 | 377 | 0         |
|   |     |       |         |         |      |     | 0         |
| 5 | Q2  | 10674 | 15.5955 | 32.475  | -0.6 | 381 | 0         |
|   |     | 10675 | 15.5955 | 32.4917 | -0.1 | 375 | -0.196084 |
|   |     | 11095 | 15.5795 | 32.475  | -1.1 | 377 | 0         |
|   |     | 11096 | 15.5795 | 32.4917 | -0.8 | 375 | 0         |
|   |     |       |         |         |      |     | 0         |
| 6 | Q11 | 11095 | 15.5795 | 32.475  | -1.1 | 377 | 0         |
|   |     | 11096 | 15.5795 | 32.4917 | -0.8 | 375 | -0.367833 |
|   |     | 11516 | 15.5634 | 32.475  | -1.6 | 377 | 0         |
|   |     | 11517 | 15.5634 | 32.4917 | -1.4 | 377 | 0         |
|   |     |       |         |         |      |     | 0         |
| 7 | Q20 | 11516 | 15.5634 | 32.475  | -1.6 | 377 | 0         |
|   |     | 11517 | 15.5634 | 32.4917 | -1.4 | 377 | -0.497152 |
|   |     | 11937 | 15.5474 | 32.475  | -1.9 | 377 | 0         |
|   |     | 11938 | 15.5474 | 32.4917 | -2   | 381 | 0         |
|   |     |       |         |         |      |     | 0         |
| 8 | Q29 | 11937 | 15.5474 | 32.475  | -1.9 | 377 | 0         |
|   |     | 11938 | 15.5474 | 32.4917 | -2   | 381 | -0.583826 |
|   |     | 12358 | 15.5313 | 32.475  | -2.2 | 377 | 0         |
|   |     | 12359 | 15.5313 | 32.4917 | -2.4 | 383 | 0         |

## الجبرود باستخدام الجاذبية

|    |     |       |         |         |      |     |          |
|----|-----|-------|---------|---------|------|-----|----------|
|    |     |       |         |         |      |     | 0        |
| 9  | Q3  | 10675 | 15.5955 | 32.4917 | -0.1 | 375 | 0        |
|    |     | 10676 | 15.5955 | 32.5083 | 0.5  | 383 | -0.06247 |
|    |     | 11096 | 15.5795 | 32.4917 | -0.8 | 375 | 0        |
|    |     | 11097 | 15.5795 | 32.5083 | -0.3 | 381 | 0        |
|    |     |       |         |         |      | 0   |          |
| 10 | Q12 | 11096 | 15.5795 | 32.4917 | -0.8 | 375 | 0        |
|    |     | 11097 | 15.5795 | 32.5083 | -0.3 | 381 | -0.31835 |
|    |     | 11517 | 15.5634 | 32.4917 | -1.4 | 377 | 0        |
|    |     | 11518 | 15.5634 | 32.5083 | -1.1 | 388 | 0        |
|    |     |       |         |         |      | 0   |          |
| 11 | Q21 | 11517 | 15.5634 | 32.4917 | -1.4 | 377 | 0        |
|    |     | 11518 | 15.5634 | 32.5083 | -1.1 | 388 | -0.52748 |
|    |     | 11938 | 15.5474 | 32.4917 | -2   | 381 | 0        |
|    |     | 11939 | 15.5474 | 32.5083 | -1.8 | 383 | 0        |
|    |     |       |         |         |      | 0   |          |
| 12 | Q30 | 11938 | 15.5474 | 32.4917 | -2   | 381 | 0        |
|    |     | 11939 | 15.5474 | 32.5083 | -1.8 | 383 | -0.67366 |
|    |     | 12359 | 15.5313 | 32.4917 | -2.4 | 383 | 0        |
|    |     | 12360 | 15.5313 | 32.5083 | -2.4 | 385 | 0        |
|    |     |       |         |         |      | 0   |          |
| 13 | Q13 | 11097 | 15.5795 | 32.5083 | -0.3 | 381 | 0        |
|    |     | 11098 | 15.5795 | 32.525  | 0.3  | 385 | -0.18548 |
|    |     | 11518 | 15.5634 | 32.5083 | -1.1 | 388 | 0        |
|    |     | 11519 | 15.5634 | 32.525  | -0.6 | 385 | 0        |
|    |     |       |         |         |      | 0   |          |
| 14 | Q22 | 11518 | 15.5634 | 32.5083 | -1.1 | 388 | 0        |
|    |     | 11519 | 15.5634 | 32.525  | -0.6 | 385 | -0.50472 |
|    |     | 11939 | 15.5474 | 32.5083 | -1.8 | 383 | 0        |
|    |     | 11940 | 15.5474 | 32.525  | -1.5 | 385 | 0        |
|    |     |       |         |         |      | 0   |          |
| 15 | Q5  | 10677 | 15.5955 | 32.525  | 1.3  | 385 | 0        |
|    |     | 10678 | 15.5955 | 32.5417 | 2.1  | 385 | 0.684541 |
|    |     | 11098 | 15.5795 | 32.525  | 0.3  | 385 | 0        |
|    |     | 11099 | 15.5795 | 32.5417 | 1    | 385 | 0        |
|    |     |       |         |         |      | 0   |          |
| 16 | Q14 | 11098 | 15.5795 | 32.525  | 0.3  | 385 | 0        |

الجبرود باستخدام الجاذبية

|    |     |       |         |         |      |     |          |
|----|-----|-------|---------|---------|------|-----|----------|
|    |     | 11099 | 15.5795 | 32.5417 | 1    | 385 | 0.098575 |
|    |     | 11519 | 15.5634 | 32.525  | -0.6 | 385 | 0        |
|    |     | 11520 | 15.5634 | 32.5417 | 0    | 385 | 0        |
|    |     |       |         |         |      |     | 0        |
| 17 | Q23 | 11519 | 15.5634 | 32.525  | -0.6 | 385 | 0        |
|    |     | 11520 | 15.5634 | 32.5417 | 0    | 385 | -0.38688 |
|    |     | 11940 | 15.5474 | 32.525  | -1.5 | 385 | 0        |
|    |     | 11941 | 15.5474 | 32.5417 | -1   | 385 | 0        |
|    |     |       |         |         |      |     | 0        |
| 18 | Q32 | 11940 | 15.5474 | 32.525  | -1.5 | 385 | 0        |
|    |     | 11941 | 15.5474 | 32.5417 | -1   | 385 | -0.71402 |
|    |     | 12361 | 15.5313 | 32.525  | -2.2 | 385 | 0        |
|    |     | 12362 | 15.5313 | 32.5417 | -1.9 | 385 | 0        |
|    |     |       |         |         |      |     | 0        |
| 19 | Q6  | 10678 | 15.5955 | 32.5417 | 2.1  | 385 | 0        |
|    |     | 10679 | 15.5955 | 32.5583 | 2.9  | 385 | 1.642317 |
|    |     | 11099 | 15.5795 | 32.5417 | 1    | 385 | 0        |
|    |     | 11100 | 15.5795 | 32.5583 | 1.8  | 385 | 0        |
|    |     |       |         |         |      |     | 0        |
| 20 | Q15 | 11099 | 15.5795 | 32.5417 | 1    | 385 | 0        |
|    |     | 11100 | 15.5795 | 32.5583 | 1.8  | 385 | 0.66403  |
|    |     | 11520 | 15.5634 | 32.5417 | 0    | 385 | 0        |
|    |     | 11521 | 15.5634 | 32.5583 | 0.6  | 387 | 0        |
|    |     |       |         |         |      |     | 0        |
| 21 | Q24 | 11520 | 15.5634 | 32.5417 | 0    | 385 | 0        |
|    |     | 11521 | 15.5634 | 32.5583 | 0.6  | 387 | -0.12662 |
|    |     | 11941 | 15.5474 | 32.5417 | -1   | 385 | 0        |
|    |     | 11942 | 15.5474 | 32.5583 | -0.4 | 385 | 0        |
|    |     |       |         |         |      |     | 0        |
| 22 | Q33 | 11941 | 15.5474 | 32.5417 | -1   | 385 | 0        |
|    |     | 11942 | 15.5474 | 32.5583 | -0.4 | 385 | -0.59776 |
|    |     | 12362 | 15.5313 | 32.5417 | -1.9 | 385 | 0        |
|    |     | 12363 | 15.5313 | 32.5583 | -1.4 | 385 | 0        |
|    |     |       |         |         |      |     | 0        |
| 23 | Q16 | 11100 | 15.5795 | 32.5583 | 1.8  | 385 | 0        |
|    |     | 11101 | 15.5795 | 32.575  | 2.5  | 387 | 1.91973  |
|    |     | 11521 | 15.5634 | 32.5583 | 0.6  | 387 | 0        |
|    |     | 11522 | 15.5634 | 32.575  | 1.3  | 387 | 0        |

## الجبريد باستخدام الجاذبية

|    |     |       |         |         |      |     |          |
|----|-----|-------|---------|---------|------|-----|----------|
|    |     |       |         |         |      |     | 0        |
| 24 | Q25 | 11521 | 15.5634 | 32.5583 | 0.6  | 387 | 0        |
|    |     | 11522 | 15.5634 | 32.575  | 1.3  | 387 | 0.348166 |
|    |     | 11942 | 15.5474 | 32.5583 | -0.4 | 385 | 0        |
|    |     | 11943 | 15.5474 | 32.575  | 0.2  | 387 | 0        |
|    |     |       |         |         |      |     | 0        |
| 25 | Q34 | 11942 | 15.5474 | 32.5583 | -0.4 | 385 | 0        |
|    |     | 11943 | 15.5474 | 32.575  | 0.2  | 387 | -0.35482 |
|    |     | 12363 | 15.5313 | 32.5583 | -1.4 | 385 | 0        |
|    |     | 12364 | 15.5313 | 32.575  | -0.8 | 387 | 0        |
|    |     |       |         |         |      |     | 0        |
| 26 | Q26 | 11522 | 15.5634 | 32.575  | 1.3  | 387 | 0        |
|    |     | 11523 | 15.5634 | 32.5917 | 2    | 383 | 1.028315 |
|    |     | 11943 | 15.5474 | 32.575  | 0.2  | 387 | 0        |
|    |     | 11944 | 15.5474 | 32.5917 | 0.8  | 387 | 0        |
|    |     |       |         |         |      |     | 0        |
| 27 | Q35 | 11943 | 15.5474 | 32.575  | 0.2  | 387 | 0        |
|    |     | 11944 | 15.5474 | 32.5917 | 0.8  | 387 | -0.01591 |
|    |     | 12364 | 15.5313 | 32.575  | -0.8 | 387 | 0        |
|    |     | 12365 | 15.5313 | 32.5917 | -0.3 | 387 | 0        |
|    |     |       |         |         |      |     | 0        |
| 28 | Q27 | 11523 | 15.5634 | 32.5917 | 2    | 383 | 0        |
|    |     | 11524 | 15.5634 | 32.6083 | 2.7  | 385 | 1.537935 |
|    |     | 11944 | 15.5474 | 32.5917 | 0.8  | 387 | 0        |
|    |     | 11945 | 15.5474 | 32.6083 | 1.5  | 383 | 0        |

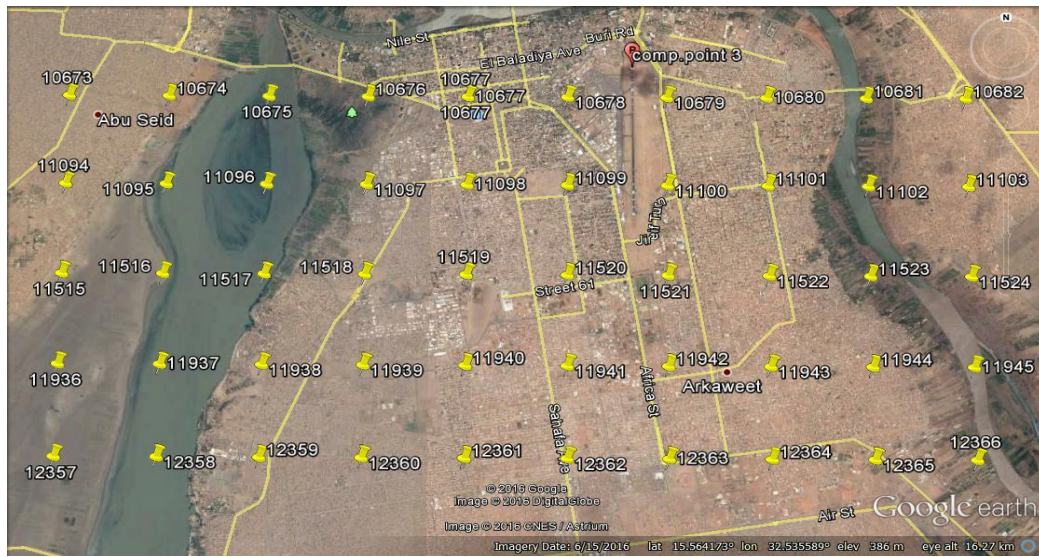
$$\sum Q = 0.36874997$$

$$N = \frac{6371}{4 \times 98.1} * 0.36874997 = \underline{\underline{1.906693789 \text{ m}}}$$

**3-2-3 النقطة C.P 3 :**

الجدول (5-3) يوضح احداثيات computation point 3

| Computation point | Latitude ( $\phi$ ) | Longitude ( $\lambda$ ) |
|-------------------|---------------------|-------------------------|
| 3                 | 15.602879           | 32.553051               |



الشكل (5-3) يبين موقع النقطة (3) computation point بالنسبة للشبكة

## الجيويد باستخدام الجاذبية

النقطة C.P 3 تم حساب ارتفاع الجيويد عندها ، وذلك باستخدام المربعات (Q) وهي :

الجدول (6-3) يبين حسابات النقطة (3) computation point للوصل لقيمة Q

| No | Q ID | point ID | E       | N       | Free air | Elevation | $Q = \Delta g \cdot S(\psi) \cdot D \cos \theta$ |
|----|------|----------|---------|---------|----------|-----------|--|
|    |      |          |         |         |          |           |  |
| 1  | Q1   | 10673    | 15.5955 | 32.4583 | -0.8     | 389       |  |
|    |      | 10674    | 15.5955 | 32.475  | -0.6     | 381       | -0.32650993                                      |
|    |      | 11094    | 15.5795 | 32.4583 | -1.2     | 385       | 0  |
|    |      | 11095    | 15.5795 | 32.475  | -1.1     | 377       | 0  |
|    |      |          |         |         |          | 0         |  |
| 2  | Q10  | 11094    | 15.5795 | 32.4583 | -1.2     | 385       | 0  |
|    |      | 11095    | 15.5795 | 32.475  | -1.1     | 377       | -0.44795365                                      |
|    |      | 11515    | 15.5634 | 32.4583 | -1.4     | 383       | 0  |
|    |      | 11516    | 15.5634 | 32.475  | -1.6     | 377       | 0  |
|    |      |          |         |         |          | 0         |  |
| 3  | Q19  | 11515    | 15.5634 | 32.4583 | -1.4     | 383       | 0  |
|    |      | 11516    | 15.5634 | 32.475  | -1.6     | 377       | -0.50731589                                      |
|    |      | 11936    | 15.5474 | 32.4583 | -1.6     | 379       | 0  |
|    |      | 11937    | 15.5474 | 32.475  | -1.9     | 377       | 0  |
|    |      |          |         |         |          | 0         |  |
| 4  | Q28  | 11936    | 15.5474 | 32.4583 | -1.6     | 379       | 0  |
|    |      | 11937    | 15.5474 | 32.475  | -1.9     | 377       | -0.53239847                                      |
|    |      | 12357    | 15.5313 | 32.4583 | -1.7     | 377       | 0  |
|    |      | 12358    | 15.5313 | 32.475  | -2.2     | 377       | 0  |
|    |      |          |         |         |          | 0         |  |
| 5  | Q2   | 10674    | 15.5955 | 32.475  | -0.6     | 381       | 0  |
|    |      | 10675    | 15.5955 | 32.4917 | -0.1     | 375       | -0.28136119                                      |
|    |      | 11095    | 15.5795 | 32.475  | -1.1     | 377       | 0  |
|    |      | 11096    | 15.5795 | 32.4917 | -0.8     | 375       | 0  |
|    |      |          |         |         |          | 0         |  |
| 6  | Q11  | 11095    | 15.5795 | 32.475  | -1.1     | 377       | 0  |
|    |      | 11096    | 15.5795 | 32.4917 | -0.8     | 375       | -0.49607726                                      |

الجبرود باستخدام الجاذبية

|    |     |       |         |         |      |     |             |
|----|-----|-------|---------|---------|------|-----|-------------|
|    |     | 11516 | 15.5634 | 32.475  | -1.6 | 377 | 0           |
|    |     | 11517 | 15.5634 | 32.4917 | -1.4 | 377 | 0           |
|    |     |       |         |         |      |     | 0           |
| 7  | Q20 | 11516 | 15.5634 | 32.475  | -1.6 | 377 | 0           |
|    |     | 11517 | 15.5634 | 32.4917 | -1.4 | 377 | -0.62646268 |
|    |     | 11937 | 15.5474 | 32.475  | -1.9 | 377 | 0           |
|    |     | 11938 | 15.5474 | 32.4917 | -2   | 381 | 0           |
|    |     |       |         |         |      |     | 0           |
| 8  | Q29 | 11937 | 15.5474 | 32.475  | -1.9 | 377 | 0           |
|    |     | 11938 | 15.5474 | 32.4917 | -2   | 381 | -0.69170841 |
|    |     | 12358 | 15.5313 | 32.475  | -2.2 | 377 |             |
|    |     | 12359 | 15.5313 | 32.4917 | -2.4 | 383 |             |
|    |     |       |         |         |      |     |             |
| 9  | Q3  | 10675 | 15.5955 | 32.4917 | -0.1 | 375 |             |
|    |     | 10676 | 15.5955 | 32.5083 | 0.5  | 383 | -0.09698419 |
|    |     | 11096 | 15.5795 | 32.4917 | -0.8 | 375 |             |
|    |     | 11097 | 15.5795 | 32.5083 | -0.3 | 381 |             |
|    |     |       |         |         |      |     |             |
| 10 | Q12 | 11096 | 15.5795 | 32.4917 | -0.8 | 375 |             |
|    |     | 11097 | 15.5795 | 32.5083 | -0.3 | 381 | -0.44683337 |
|    |     | 11517 | 15.5634 | 32.4917 | -1.4 | 377 |             |
|    |     | 11518 | 15.5634 | 32.5083 | -1.1 | 388 |             |
|    |     |       |         |         |      |     |             |
| 11 | Q21 | 11517 | 15.5634 | 32.4917 | -1.4 | 377 |             |
|    |     | 11518 | 15.5634 | 32.5083 | -1.1 | 388 | -0.66920136 |
|    |     | 11938 | 15.5474 | 32.4917 | -2   | 381 | 0           |
|    |     | 11939 | 15.5474 | 32.5083 | -1.8 | 383 | 0           |
|    |     |       |         |         |      |     | 0           |
| 12 | Q30 | 11938 | 15.5474 | 32.4917 | -2   | 381 | 0           |
|    |     | 11939 | 15.5474 | 32.5083 | -1.8 | 383 | -0.78761076 |
|    |     | 12359 | 15.5313 | 32.4917 | -2.4 | 383 | 0           |
|    |     | 12360 | 15.5313 | 32.5083 | -2.4 | 385 | 0           |
|    |     |       |         |         |      |     | 0           |
| 13 | Q4  | 10676 | 15.5955 | 32.5083 | 0.5  | 383 | 0           |
|    |     | 10677 | 15.5955 | 32.525  | 1.3  | 385 | 0.34894082  |
|    |     | 11097 | 15.5795 | 32.5083 | -0.3 | 381 | 0           |
|    |     | 11098 | 15.5795 | 32.525  | 0.3  | 385 | 0           |
|    |     |       |         |         |      |     | 0           |

الجبرود باستخدام الجاذبية

|    |     |       |         |         |      |     |             |
|----|-----|-------|---------|---------|------|-----|-------------|
| 14 | Q13 | 11097 | 15.5795 | 32.5083 | -0.3 | 381 | 0           |
|    |     | 11098 | 15.5795 | 32.525  | 0.3  | 385 | -0.26997408 |
|    |     | 11518 | 15.5634 | 32.5083 | -1.1 | 388 | 0           |
|    |     | 11519 | 15.5634 | 32.525  | -0.6 | 385 | 0           |
|    |     |       |         |         |      | 0   |             |
| 15 | Q22 | 11518 | 15.5634 | 32.5083 | -1.1 | 388 | 0           |
|    |     | 11519 | 15.5634 | 32.525  | -0.6 | 385 | -0.63056218 |
|    |     | 11939 | 15.5474 | 32.5083 | -1.8 | 383 | 0           |
|    |     | 11940 | 15.5474 | 32.525  | -1.5 | 385 | 0           |
|    |     |       |         |         |      | 0   |             |
| 16 | Q5  | 10677 | 15.5955 | 32.525  | 1.3  | 385 | 0           |
|    |     | 10678 | 15.5955 | 32.5417 | 2.1  | 385 | 1.425128351 |
|    |     | 11098 | 15.5795 | 32.525  | 0.3  | 385 | 0           |
|    |     | 11099 | 15.5795 | 32.5417 | 1    | 385 | 0           |
|    |     |       |         |         |      | 0   |             |
| 17 | Q23 | 11519 | 15.5634 | 32.525  | -0.6 | 385 | 0           |
|    |     | 11520 | 15.5634 | 32.5417 | 0    | 385 | -0.45080313 |
|    |     | 11940 | 15.5474 | 32.525  | -1.5 | 385 | 0           |
|    |     | 11941 | 15.5474 | 32.5417 | -1   | 385 | 0           |
|    |     |       |         |         |      | 0   |             |
| 18 | Q32 | 11940 | 15.5474 | 32.525  | -1.5 | 385 | 0           |
|    |     | 11941 | 15.5474 | 32.5417 | -1   | 385 | -0.74630467 |
|    |     | 12361 | 15.5313 | 32.525  | -2.2 | 385 | 0           |
|    |     | 12362 | 15.5313 | 32.5417 | -1.9 | 385 | 0           |
|    |     |       |         |         |      | 0   |             |
| 19 | Q6  | 10678 | 15.5955 | 32.5417 | 2.1  | 385 | 0           |
|    |     | 10679 | 15.5955 | 32.5583 | 2.9  | 385 | 3.662162495 |
|    |     | 11099 | 15.5795 | 32.5417 | 1    | 385 | 0           |
|    |     | 11100 | 15.5795 | 32.5583 | 1.8  | 385 | 0           |
|    |     |       |         |         |      | 0   |             |
| 20 | Q15 | 11099 | 15.5795 | 32.5417 | 1    | 385 | 0           |
|    |     | 11100 | 15.5795 | 32.5583 | 1.8  | 385 | 0.798790464 |
|    |     | 11520 | 15.5634 | 32.5417 | 0    | 385 | 0           |
|    |     | 11521 | 15.5634 | 32.5583 | 0.6  | 387 | 0           |
|    |     |       |         |         |      | 0   |             |
| 21 | Q24 | 11520 | 15.5634 | 32.5417 | 0    | 385 | 0           |
|    |     | 11521 | 15.5634 | 32.5583 | 0.6  | 387 | -0.12423489 |
|    |     | 11941 | 15.5474 | 32.5417 | -1   | 385 | 0           |

الجبريد باستخدام الجاذبية

|    |     |       |         |         |      |     |             |
|----|-----|-------|---------|---------|------|-----|-------------|
|    |     | 11942 | 15.5474 | 32.5583 | -0.4 | 385 | 0           |
|    |     |       |         |         |      |     | 0           |
| 22 | Q33 | 11941 | 15.5474 | 32.5417 | -1   | 385 | 0           |
|    |     | 11942 | 15.5474 | 32.5583 | -0.4 | 385 | -0.55055893 |
|    |     | 12362 | 15.5313 | 32.5417 | -1.9 | 385 | 0           |
|    |     | 12363 | 15.5313 | 32.5583 | -1.4 | 385 | 0           |
|    |     |       |         |         |      | 0   |             |
| 23 | Q25 | 11521 | 15.5634 | 32.5583 | 0.6  | 387 | 0           |
|    |     | 11522 | 15.5634 | 32.575  | 1.3  | 387 | 0.256574555 |
|    |     | 11942 | 15.5474 | 32.5583 | -0.4 | 385 | 0           |
|    |     | 11943 | 15.5474 | 32.575  | 0.2  | 387 | 0           |
|    |     |       |         |         |      | 0   |             |
| 24 | Q34 | 11942 | 15.5474 | 32.5583 | -0.4 | 385 | 0           |
|    |     | 11943 | 15.5474 | 32.575  | 0.2  | 387 | -0.27734514 |
|    |     | 12363 | 15.5313 | 32.5583 | -1.4 | 385 | 0           |
|    |     | 12364 | 15.5313 | 32.575  | -0.8 | 387 | 0           |
|    |     |       |         |         |      | 0   |             |
| 25 | Q17 | 11101 | 15.5795 | 32.575  | 2.5  | 387 | 0           |
|    |     | 11102 | 15.5795 | 32.5917 | 3.2  | 381 | 1.568193338 |
|    |     | 11522 | 15.5634 | 32.575  | 1.3  | 387 | 0           |
|    |     | 11523 | 15.5634 | 32.5917 | 2    | 383 | 0           |
|    |     |       |         |         |      | 0   |             |
| 26 | Q26 | 11522 | 15.5634 | 32.575  | 1.3  | 387 | 0           |
|    |     | 11523 | 15.5634 | 32.5917 | 2    | 383 | 0.574048009 |
|    |     | 11943 | 15.5474 | 32.575  | 0.2  | 387 | 0           |
|    |     | 11944 | 15.5474 | 32.5917 | 0.8  | 387 | 0           |
|    |     |       |         |         |      | 0   |             |
| 27 | Q35 | 11943 | 15.5474 | 32.575  | 0.2  | 387 | 0           |
|    |     | 11944 | 15.5474 | 32.5917 | 0.8  | 387 | -0.01072885 |
|    |     | 12364 | 15.5313 | 32.575  | -0.8 | 387 | 0           |
|    |     | 12365 | 15.5313 | 32.5917 | -0.3 | 387 | 0           |
|    |     |       |         |         |      | 0   |             |
| 28 | Q27 | 11523 | 15.5634 | 32.5917 | 2    | 383 | 0           |
|    |     | 11524 | 15.5634 | 32.6083 | 2.7  | 385 | 0.790568755 |
|    |     | 11944 | 15.5474 | 32.5917 | 0.8  | 387 | 0           |
|    |     | 11945 | 15.5474 | 32.6083 | 1.5  | 383 | 0           |

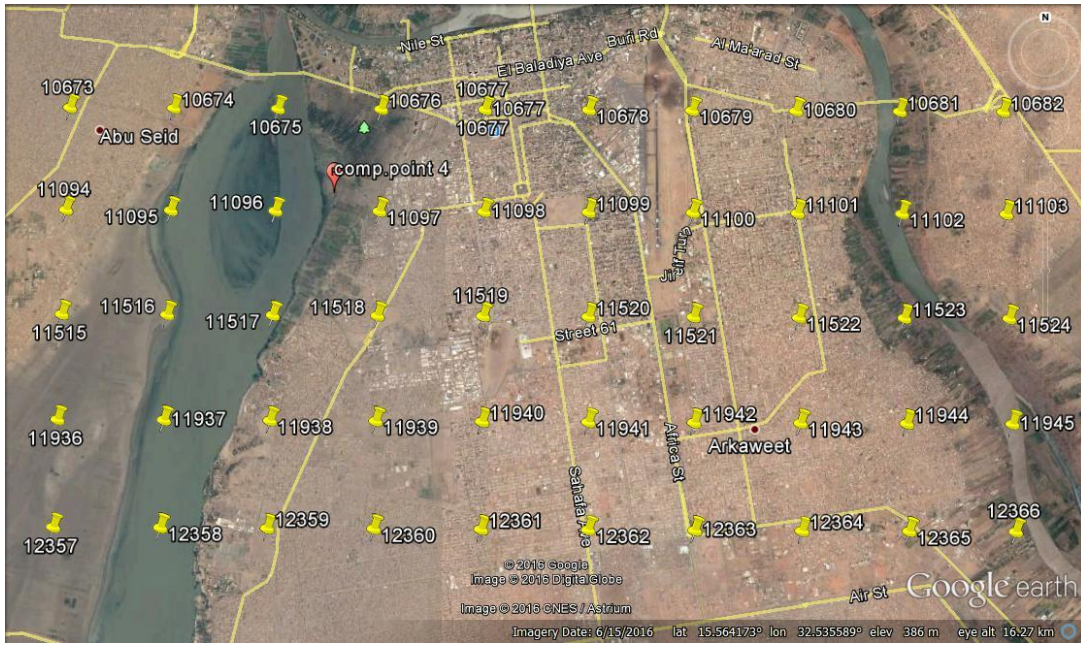
$$\sum Q = 0.45347775$$

$$N = \frac{6371}{4 \times 98.1} * 0.45347775 = \underline{\underline{2.344795336 \text{ m}}}$$

**4-2-3 النقطة C.P 4 :**

الجدول (7-3) يوضح احداثيات 4 computation point

| Computation point | Latitude ( $\phi$ ) | Longitude ( $\lambda$ ) |
|-------------------|---------------------|-------------------------|
| 4                 | 15.584302           | 32.501541               |



الشكل (6-3) يبين موقع النقطة (4) computation point بالنسبة للشبكة

## الجيويد باستخدام الجاذبية

النقطة 4 C.P تم حساب ارتفاع الجيويد عندها ، وذلك باستخدام المربعات (Q) وهي:

الجدول (8-3) يبين حسابات النقطة (4) computation point للوصل لقيمة مجموع Q

| No | Q ID | point ID | E       | N       | freeAir | Elevation | $Q=\Delta g.S(\psi).$ | $\emptyset.$<br>$D\lambda.\cos \emptyset$ |
|----|------|----------|---------|---------|---------|-----------|-----------------------|---|
|    |      |          |         |         |         |           |                       |   |
| 1  | Q1   | 10673    | 15.5955 | 32.4583 | -0.8    | 389       |                       |   |
|    |      | 10674    | 15.5955 | 32.475  | -0.6    | 381       | -0.81294635           |   |
|    |      | 11094    | 15.5795 | 32.4583 | -1.2    | 385       | 0                     |   |
|    |      | 11095    | 15.5795 | 32.475  | -1.1    | 377       | 0                     |   |
|    |      |          |         |         |         |           | 0                     |   |
| 2  | Q28  | 11936    | 15.5474 | 32.4583 | -1.6    | 379       |                       | 0   |
|    |      | 11937    | 15.5474 | 32.475  | -1.9    | 377       | -0.98718678           |   |
|    |      | 12357    | 15.5313 | 32.4583 | -1.7    | 377       | 0                     |   |
|    |      | 12358    | 15.5313 | 32.475  | -2.2    | 377       | 0                     |   |
|    |      |          |         |         |         |           | 0                     |   |
| 3  | Q2   | 10674    | 15.5955 | 32.475  | -0.6    | 381       |                       | 0   |
|    |      | 10675    | 15.5955 | 32.4917 | -0.1    | 375       | -1.08003129           |   |
|    |      | 11095    | 15.5795 | 32.475  | -1.1    | 377       | 0                     |   |
|    |      | 11096    | 15.5795 | 32.4917 | -0.8    | 375       | 0                     |   |
|    |      |          |         |         |         |           | 0                     |   |
| 4  | Q29  | 11937    | 15.5474 | 32.475  | -1.9    | 377       |                       | 0   |
|    |      | 11938    | 15.5474 | 32.4917 | -2      | 381       | -1.31773594           |   |
|    |      | 12358    | 15.5313 | 32.475  | -2.2    | 377       | 0                     |   |
|    |      | 12359    | 15.5313 | 32.4917 | -2.4    | 383       | 0                     |   |
|    |      |          |         |         |         |           | 0                     |   |
| 5  | Q21  | 11517    | 15.5634 | 32.4917 | -1.4    | 377       |                       | 0   |
|    |      | 11518    | 15.5634 | 32.5083 | -1.1    | 388       | -1.6038867            |   |
|    |      | 11938    | 15.5474 | 32.4917 | -2      | 381       | 0                     |   |
|    |      | 11939    | 15.5474 | 32.5083 | -1.8    | 383       | 0                     |   |
|    |      |          |         |         |         |           | 0                     |   |
| 6  | Q30  | 11938    | 15.5474 | 32.4917 | -2      | 381       |                       | 0   |
|    |      | 11939    | 15.5474 | 32.5083 | -1.8    | 383       | -1.4209611            |   |
|    |      | 12359    | 15.5313 | 32.4917 | -2.4    | 383       | 0                     |   |
|    |      | 12360    | 15.5313 | 32.5083 | -2.4    | 385       | 0                     |   |

الجبرود باستخدام الجاذبية

|    |     |       |         |         |      |     |            |
|----|-----|-------|---------|---------|------|-----|------------|
|    |     |       |         |         |      |     | 0          |
| 7  | Q4  | 10676 | 15.5955 | 32.5083 | 0.5  | 383 | 0          |
|    |     | 10677 | 15.5955 | 32.525  | 1.3  | 385 | 0.8933405  |
|    |     | 11097 | 15.5795 | 32.5083 | -0.3 | 381 | 0          |
|    |     | 11098 | 15.5795 | 32.525  | 0.3  | 385 | 0          |
|    |     |       |         |         |      |     | 0          |
| 8  | Q13 | 11097 | 15.5795 | 32.5083 | -0.3 | 381 | 0          |
|    |     | 11098 | 15.5795 | 32.525  | 0.3  | 385 | -0.6520326 |
|    |     | 11518 | 15.5634 | 32.5083 | -1.1 | 388 | 0          |
|    |     | 11519 | 15.5634 | 32.525  | -0.6 | 385 | 0          |
|    |     |       |         |         |      |     | 0          |
| 9  | Q22 | 11518 | 15.5634 | 32.5083 | -1.1 | 388 | 0          |
|    |     | 11519 | 15.5634 | 32.525  | -0.6 | 385 | -1.145862  |
|    |     | 11939 | 15.5474 | 32.5083 | -1.8 | 383 | 0          |
|    |     | 11940 | 15.5474 | 32.525  | -1.5 | 385 | 0          |
|    |     |       |         |         |      |     | 0          |
| 10 | Q5  | 10677 | 15.5955 | 32.525  | 1.3  | 385 | 0          |
|    |     | 10678 | 15.5955 | 32.5417 | 2.1  | 385 | 1.1311801  |
|    |     | 11098 | 15.5795 | 32.525  | 0.3  | 385 | 0          |
|    |     | 11099 | 15.5795 | 32.5417 | 1    | 385 | 0          |
|    |     |       |         |         |      |     | 0          |
| 11 | Q14 | 11098 | 15.5795 | 32.525  | 0.3  | 385 | 0          |
|    |     | 11099 | 15.5795 | 32.5417 | 1    | 385 | 0.1572324  |
|    |     | 11519 | 15.5634 | 32.525  | -0.6 | 385 | 0          |
|    |     | 11520 | 15.5634 | 32.5417 | 0    | 385 | 0          |
|    |     |       |         |         |      |     | 0          |
| 12 | Q23 | 11519 | 15.5634 | 32.525  | -0.6 | 385 | 0          |
|    |     | 11520 | 15.5634 | 32.5417 | 0    | 385 | -0.5465768 |
|    |     | 11940 | 15.5474 | 32.525  | -1.5 | 385 | 0          |
|    |     | 11941 | 15.5474 | 32.5417 | -1   | 385 | 0          |
|    |     |       |         |         |      |     | 0          |
| 13 | Q32 | 11940 | 15.5474 | 32.525  | -1.5 | 385 | 0          |
|    |     | 11941 | 15.5474 | 32.5417 | -1   | 385 | -0.9081839 |
|    |     | 12361 | 15.5313 | 32.525  | -2.2 | 385 | 0          |
|    |     | 12362 | 15.5313 | 32.5417 | -1.9 | 385 | 0          |
|    |     |       |         |         |      |     | 0          |
| 14 | Q6  | 10678 | 15.5955 | 32.5417 | 2.1  | 385 | 0          |
|    |     | 10679 | 15.5955 | 32.5583 | 2.9  | 385 | 1.2315459  |

الجبرود باستخدام الجاذبية

|    |     |       |         |         |      |     |            |
|----|-----|-------|---------|---------|------|-----|------------|
|    |     | 11099 | 15.5795 | 32.5417 | 1    | 385 | 0          |
|    |     | 11100 | 15.5795 | 32.5583 | 1.8  | 385 | 0          |
|    |     |       |         |         |      |     | 0          |
| 15 | Q15 | 11099 | 15.5795 | 32.5417 | 1    | 385 | 0          |
|    |     | 11100 | 15.5795 | 32.5583 | 1.8  | 385 | 0.522124   |
|    |     | 11520 | 15.5634 | 32.5417 | 0    | 385 | 0          |
|    |     | 11521 | 15.5634 | 32.5583 | 0.6  | 387 | 0          |
|    |     |       |         |         |      |     | 0          |
| 16 | Q24 | 11520 | 15.5634 | 32.5417 | 0    | 385 | 0          |
|    |     | 11521 | 15.5634 | 32.5583 | 0.6  | 387 | -0.1077595 |
|    |     | 11941 | 15.5474 | 32.5417 | -1   | 385 | 0          |
|    |     | 11942 | 15.5474 | 32.5583 | -0.4 | 385 | 0          |
|    |     |       |         |         |      |     | 0          |
| 17 | Q33 | 11941 | 15.5474 | 32.5417 | -1   | 385 | 0          |
|    |     | 11942 | 15.5474 | 32.5583 | -0.4 | 385 | -0.5404147 |
|    |     | 12362 | 15.5313 | 32.5417 | -1.9 | 385 | 0          |
|    |     | 12363 | 15.5313 | 32.5583 | -1.4 | 385 | 0          |
|    |     |       |         |         |      |     | 0          |
| 18 | Q7  | 10679 | 15.5955 | 32.5583 | 2.9  | 385 | 0          |
|    |     | 10680 | 15.5955 | 32.575  | 3.6  | 385 | 1.2809353  |
|    |     | 11100 | 15.5795 | 32.5583 | 1.8  | 385 | 0          |
|    |     | 11101 | 15.5795 | 32.575  | 2.5  | 387 | 0          |
|    |     |       |         |         |      |     | 0          |
| 19 | Q16 | 11100 | 15.5795 | 32.5583 | 1.8  | 385 | 0          |
|    |     | 11101 | 15.5795 | 32.575  | 2.5  | 387 | 0.725916   |
|    |     | 11521 | 15.5634 | 32.5583 | 0.6  | 387 | 0          |
|    |     | 11522 | 15.5634 | 32.575  | 1.3  | 387 | 0          |
|    |     |       |         |         |      |     | 0          |
| 20 | Q25 | 11521 | 15.5634 | 32.5583 | 0.6  | 387 | 0          |
|    |     | 11522 | 15.5634 | 32.575  | 1.3  | 387 | 0.183496   |
|    |     | 11942 | 15.5474 | 32.5583 | -0.4 | 385 | 0          |
|    |     | 11943 | 15.5474 | 32.575  | 0.2  | 387 | 0          |
|    |     |       |         |         |      |     | 0          |
| 21 | Q8  | 10680 | 15.5955 | 32.575  | 3.6  | 385 | 0          |
|    |     | 10681 | 15.5955 | 32.5917 | 4.4  | 381 | 1.2965049  |
|    |     | 11101 | 15.5795 | 32.575  | 2.5  | 387 | 0          |
|    |     | 11102 | 15.5795 | 32.5917 | 3.2  | 381 | 0          |
|    |     |       |         |         |      |     | 0          |

الجبرود باستخدام الجاذبية

|    |     |       |         |         |      |     |            |
|----|-----|-------|---------|---------|------|-----|------------|
| 22 | Q17 | 11101 | 15.5795 | 32.575  | 2.5  | 387 | 0          |
|    |     | 11102 | 15.5795 | 32.5917 | 3.2  | 381 | 0.8466344  |
|    |     | 11522 | 15.5634 | 32.575  | 1.3  | 387 | 0          |
|    |     | 11523 | 15.5634 | 32.5917 | 2    | 383 | 0          |
|    |     |       |         |         |      |     | 0          |
| 23 | Q26 | 11522 | 15.5634 | 32.575  | 1.3  | 387 | 0          |
|    |     | 11523 | 15.5634 | 32.5917 | 2    | 383 | 0.3825772  |
|    |     | 11943 | 15.5474 | 32.575  | 0.2  | 387 | 0          |
|    |     | 11944 | 15.5474 | 32.5917 | 0.8  | 387 | 0          |
|    |     |       |         |         |      |     | 0          |
| 24 | Q35 | 11943 | 15.5474 | 32.575  | 0.2  | 387 | 0          |
|    |     | 11944 | 15.5474 | 32.5917 | 0.8  | 387 | -0.0082898 |
|    |     | 12364 | 15.5313 | 32.575  | -0.8 | 387 | 0          |
|    |     | 12365 | 15.5313 | 32.5917 | -0.3 | 387 | 0          |
|    |     |       |         |         |      |     | 0          |
| 25 | Q8  | 10681 | 15.5955 | 32.5917 | 4.4  | 381 | 0          |
|    |     | 10682 | 15.5955 | 32.6083 | 5    | 387 | 1.2925384  |
|    |     | 11102 | 15.5795 | 32.5917 | 3.2  | 381 | 0          |
|    |     | 11103 | 15.5795 | 32.6083 | 3.9  | 387 | 0          |
|    |     |       |         |         |      |     | 0          |
| 26 | Q18 | 11102 | 15.5795 | 32.5917 | 3.2  | 381 | 0          |
|    |     | 11103 | 15.5795 | 32.6083 | 3.9  | 387 | 0.9222926  |
|    |     | 11523 | 15.5634 | 32.5917 | 2    | 383 | 0          |
|    |     | 11524 | 15.5634 | 32.6083 | 2.7  | 385 | 0          |
|    |     |       |         |         |      |     | 0          |
| 27 | Q27 | 11523 | 15.5634 | 32.5917 | 2    | 383 | 0          |
|    |     | 11524 | 15.5634 | 32.6083 | 2.7  | 385 | 0.5250617  |
|    |     | 11944 | 15.5474 | 32.5917 | 0.8  | 387 | 0          |
|    |     | 11945 | 15.5474 | 32.6083 | 1.5  | 383 | 0          |
|    |     |       |         |         |      |     | 0          |
| 28 | Q36 | 11944 | 15.5474 | 32.5917 | 0.8  | 387 | 0          |
|    |     | 11945 | 15.5474 | 32.6083 | 1.5  | 383 | 0.1712355  |
|    |     | 12365 | 15.5313 | 32.5917 | -0.3 | 387 |            |
|    |     | 12366 | 15.5313 | 32.6083 | 0.4  | 385 |            |

$$\sum Q = 0.430747527$$

$$N = \frac{6371}{4 \times 9.81} * 0.430747527 = \underline{\underline{2.227264274 \text{ m}}}$$

تم أذخال اءءائءاء نءاء المنءة المءروسة فف برنامء EGM2008 لمعرفة أرفءاءاء الجوءء العاءمفة للنءاء

نبة عن البرنامء :-

### 3-3 برنامء EGM2008 :

البرنامء أسمه Alltrans EGM2008 Calculator وهو من ءءوفر عالم ألمانى أسمه-Hans GerdDuenck-Kerst من شركة AltStat الألمانية ، والإصءار الءالى له هو الأول Version 1.0

البرنامء سهل الءعامل معه وله 3 قوائم menus لأءاء الءساباء على 3 مسءوفااء:

ءساب N نءة بنءة على الشاءة فف قائمة Manual calc.

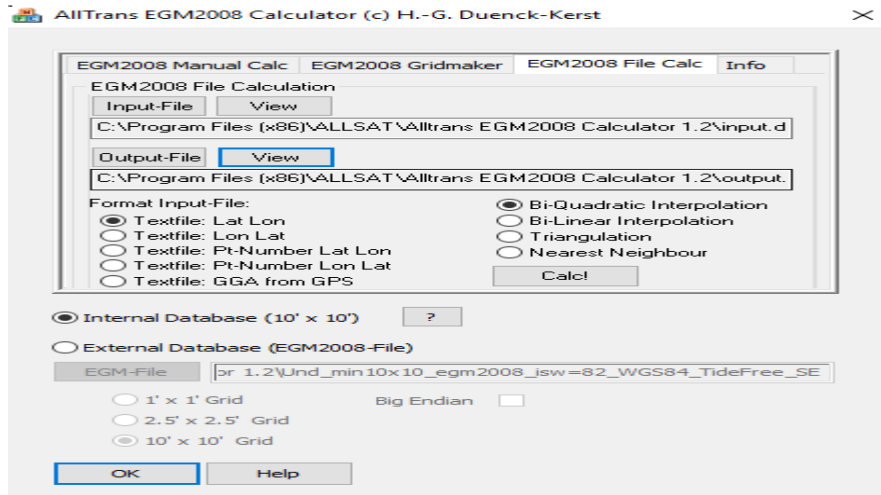
ءساب N شبكة Grid لمنءة معفة فف قائمة Grid Maker .

ءساب N مءموة من النءاء موءوءة فف ملف نصف فف قائمة File calc.

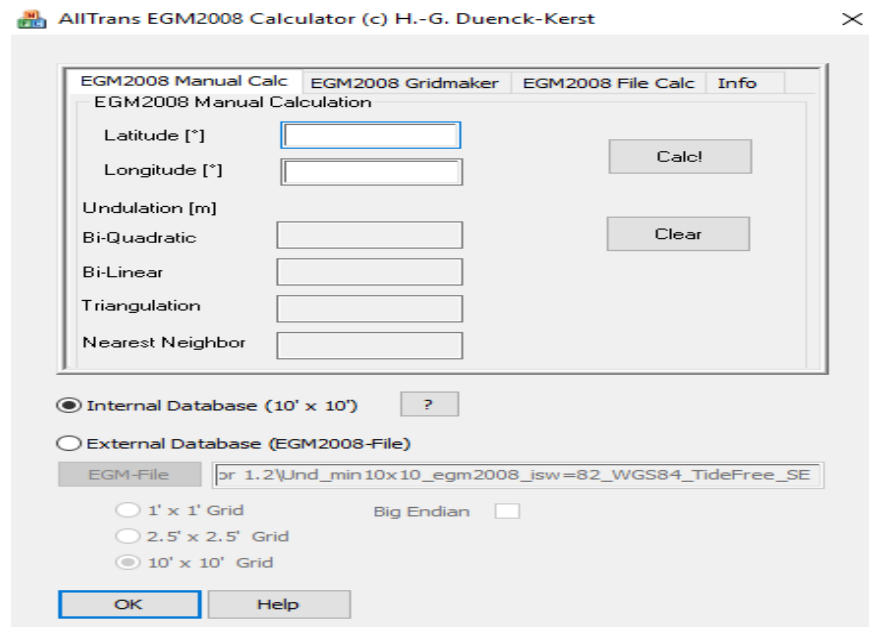
الفكرة الأساسية للبرنامء هف اسءنبااء interpolation ففءة ءفوء الجفوء N of EGM2008 من شبكة (سفق ءسابها من النموءء الأصفف) وهءة الشبكة ءءكون الخفة الواءءة منها من 10×10 ءقائء ، وهءا هو الخفار الأساسي المسمى Internal Dataset .

ءما ففءف البرنامء أفضا – فف خفار - External Dataset اسءءءام شبءاء Grids أءرفف بءفة 1×1 ءقفة أو 2.5×2.5 ءقفة لءن ملفاءهما فر موءوءة فف البرنامء ففءب أن فقوم المسءءم بالءصول عفلهما - من موقء هفة المساءة العسكرفة الأمريكية - أولا إن رءب فف ءلك.

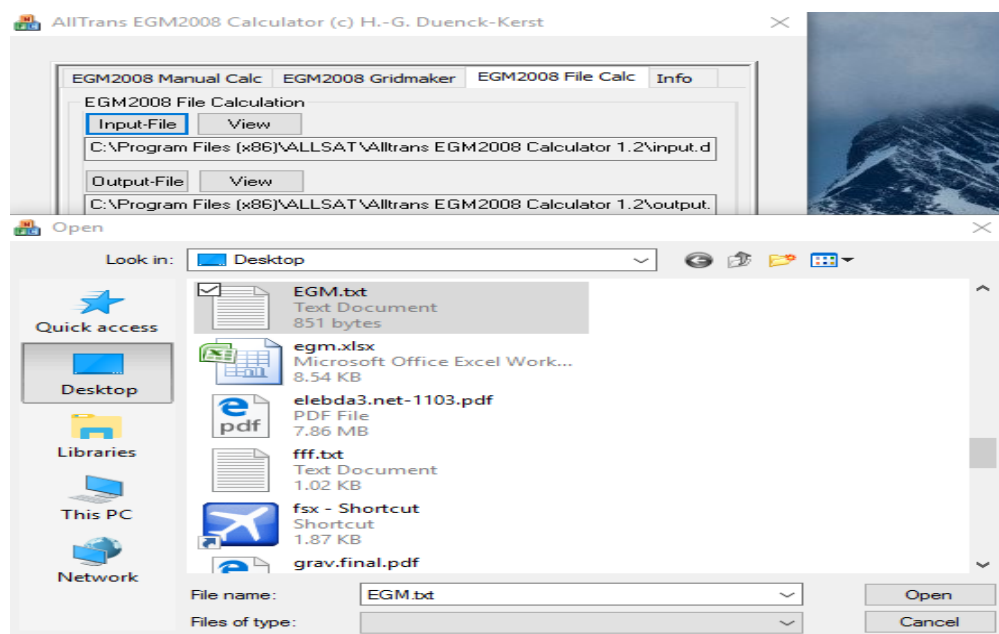
ءما فقوم البرنامء باسءنبااء ففم N بءءبفء 4 طرق رفاضفة مءءلفة (ءاصة فف المسءوفا الأول). الءءء فف مءظم الءءبفءاء الجفوءففسفة و المساءفة ، إلا فف ءالة شبءاء المءءءاء GPS عافة ءقفة فف نصء باسءءءام البرنامء الأصفف المءءم من هفة المساءة العسكرفة الأمريكية.



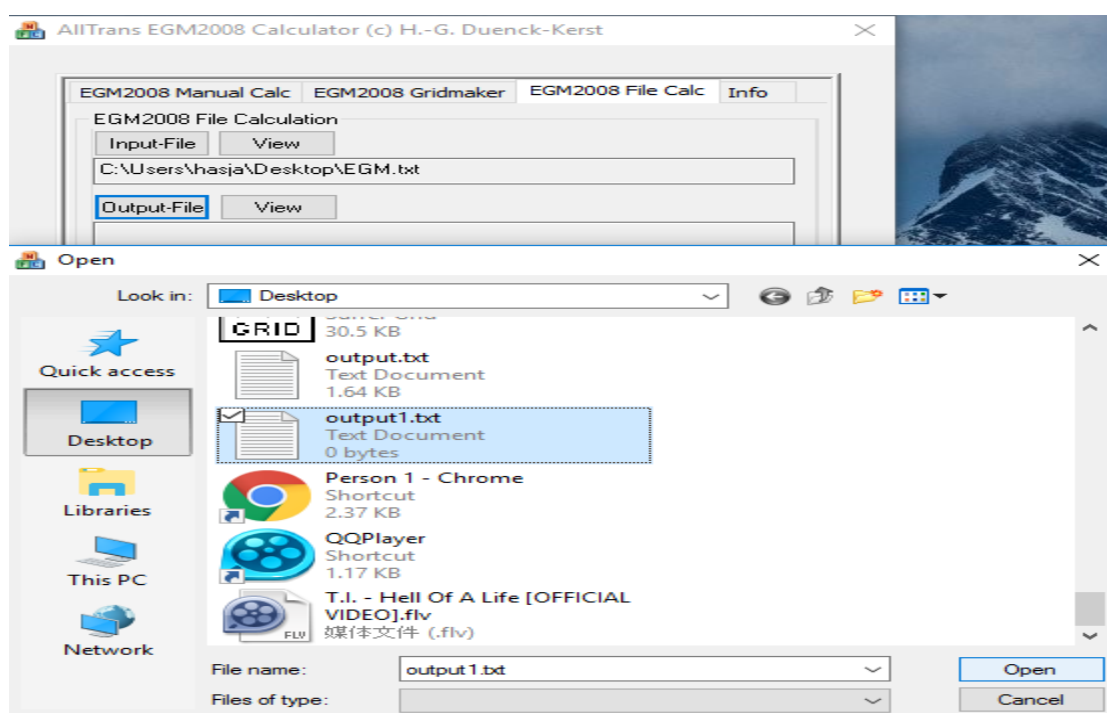
شكل (7-3) يوضح شاشة البرنامج



شكل (8-3) يوضح حساب N نقطة بنقطة علي الشاشة في قائمة Manual calc

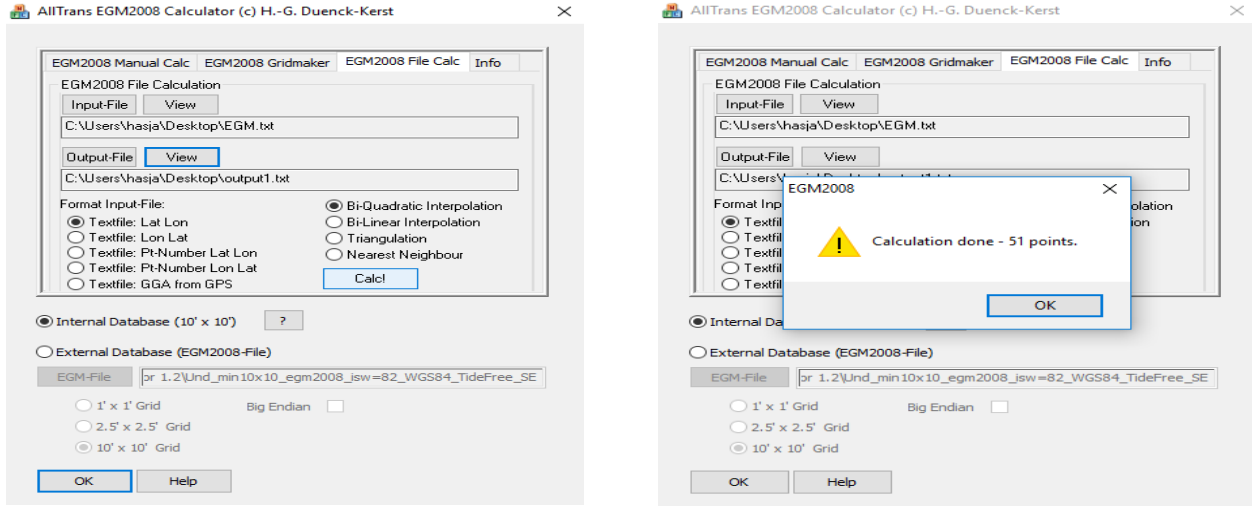


شكل (9-3) يوضح عملية البحث عن الملف المحفوظ بصيغة ملف نصي txt

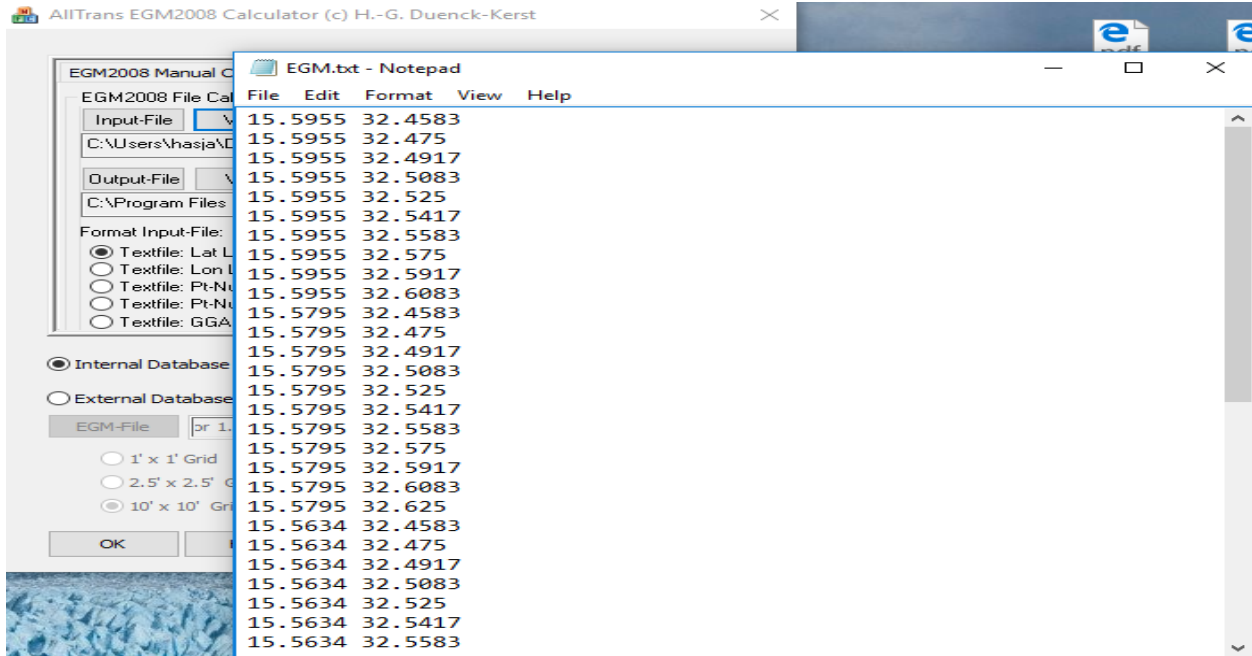


شكل (10-3) يوضح حساب N مجموعة من النقاط موجودة في ملف نصي txt في قائمة File calc

## الجيويد باستخدام الجاذبية



شكل (3-11) يوضح إكمال عملية الإدخال لعدد النقاط شكل (3-12) يوضح إكمال عملية الإدخال لعدد النقاط



شكل (3-13) يوضح عملية عرض محتويات الملف

3-4 النتائج المتحصل عليها من شاشة البرنامج:

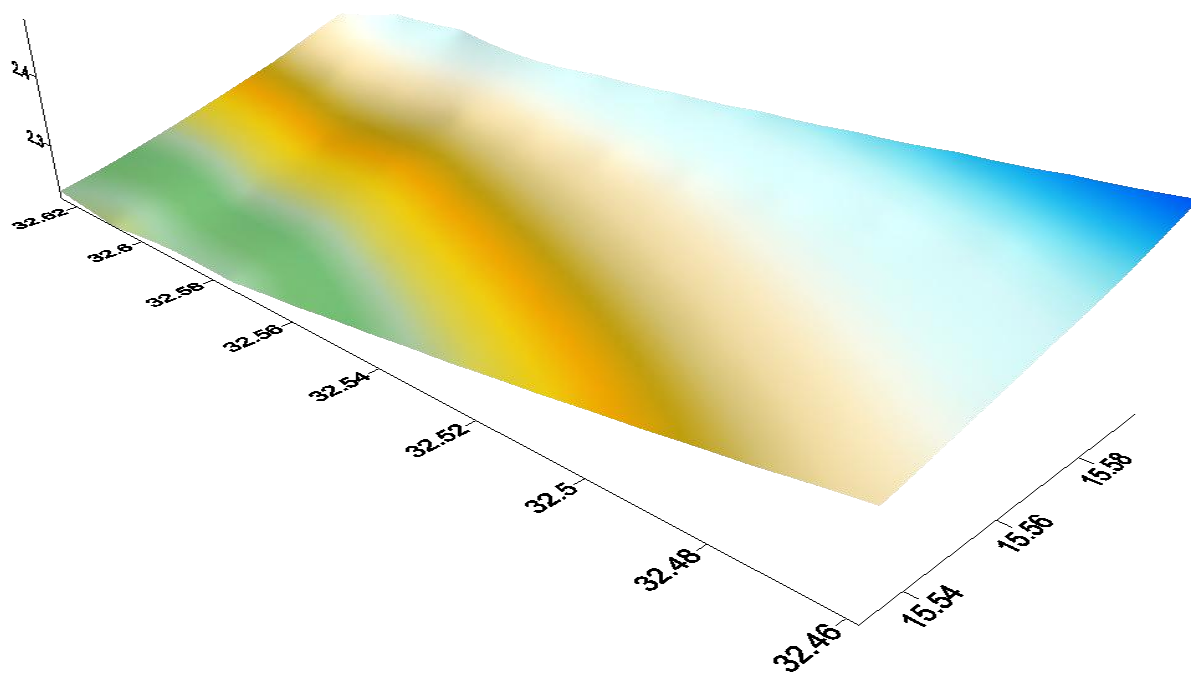
جدول (3-9) يوضح النتائج لقيم N العالمية المتحصل المتحصل عليها من برنامج EGM 2008

| No | Latitude  | Longitude | N     |
|----|-----------|-----------|-------|
| 1  | 15.595500 | 32.458300 | 2.480 |
| 2  | 15.595500 | 32.475000 | 2.466 |
| 3  | 15.595500 | 32.491700 | 2.453 |
| 4  | 15.595500 | 32.508300 | 2.440 |
| 5  | 15.595500 | 32.525000 | 2.429 |
| 6  | 15.595500 | 32.541700 | 2.418 |
| 7  | 15.595500 | 32.558300 | 2.409 |
| 8  | 15.595500 | 32.575000 | 2.400 |
| 9  | 15.595500 | 32.591700 | 2.410 |
| 10 | 15.595500 | 32.608300 | 2.402 |
| 11 | 15.579500 | 32.458300 | 2.441 |
| 12 | 15.579500 | 32.475000 | 2.424 |
| 13 | 15.579500 | 32.491700 | 2.408 |
| 14 | 15.579500 | 32.508300 | 2.393 |
| 15 | 15.579500 | 32.525000 | 2.379 |
| 16 | 15.579500 | 32.541700 | 2.366 |
| 17 | 15.579500 | 32.558300 | 2.355 |
| 18 | 15.579500 | 32.575000 | 2.344 |
| 19 | 15.579500 | 32.591700 | 2.350 |
| 20 | 15.579500 | 32.608300 | 2.340 |
| 21 | 15.579500 | 32.625000 | 2.330 |
| 22 | 15.563400 | 32.458300 | 2.412 |
| 23 | 15.563400 | 32.475000 | 2.394 |
| 24 | 15.563400 | 32.491700 | 2.376 |
| 25 | 15.563400 | 32.508300 | 2.360 |
| 26 | 15.563400 | 32.525000 | 2.345 |
| 27 | 15.563400 | 32.541700 | 2.331 |
| 28 | 15.563400 | 32.558300 | 2.318 |
| 29 | 15.563400 | 32.575000 | 2.306 |
| 30 | 15.563400 | 32.591700 | 2.310 |
| 31 | 15.563400 | 32.608300 | 2.229 |

## الجيويد باستخدام الجاذبية

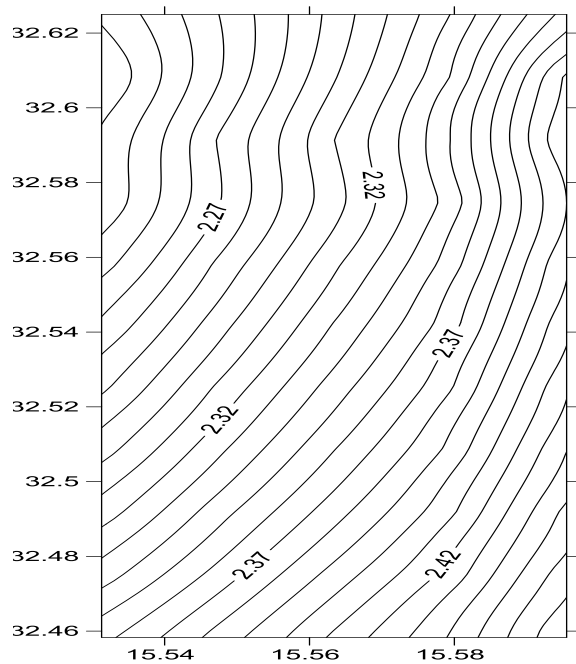
---

|    |           |           |       |
|----|-----------|-----------|-------|
| 32 | 15.547400 | 32.458300 | 2.384 |
| 33 | 15.547400 | 32.475000 | 2.364 |
| 34 | 15.547400 | 32.491700 | 2.346 |
| 35 | 15.547400 | 32.508300 | 2.328 |
| 36 | 15.547400 | 32.525000 | 2.312 |
| 37 | 15.547400 | 32.541700 | 2.296 |
| 38 | 15.547400 | 32.558300 | 2.282 |
| 39 | 15.547400 | 32.575000 | 2.269 |
| 40 | 15.547400 | 32.591700 | 2.271 |
| 41 | 15.547400 | 32.608300 | 2.259 |
| 42 | 15.531300 | 32.458300 | 2.357 |
| 43 | 15.531300 | 32.475000 | 2.335 |
| 44 | 15.531300 | 32.491700 | 2.315 |
| 45 | 15.531300 | 32.508300 | 2.296 |
| 46 | 15.531300 | 32.525000 | 2.278 |
| 47 | 15.531300 | 32.541700 | 2.262 |
| 48 | 15.531300 | 32.558300 | 2.246 |
| 49 | 15.531300 | 32.575000 | 2.232 |
| 50 | 15.531300 | 32.591700 | 2.232 |
| 51 | 15.531300 | 32.608300 | 2.220 |

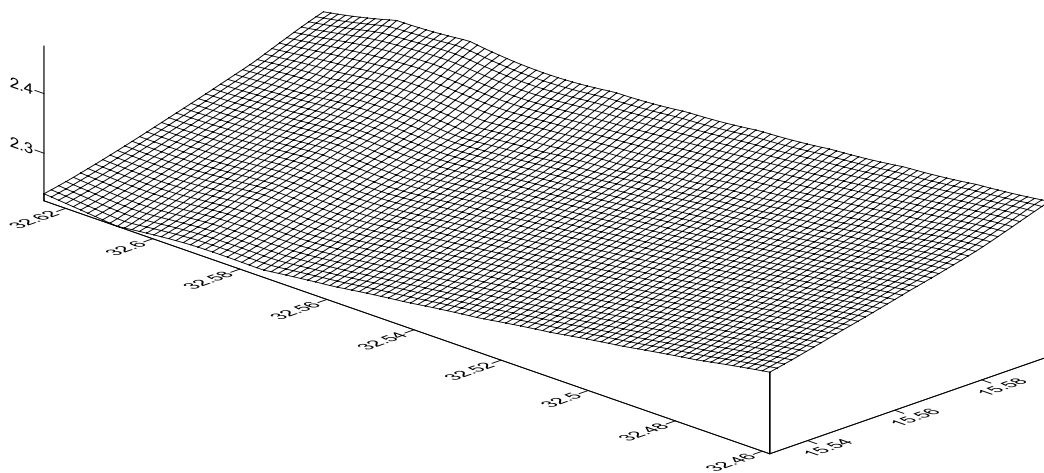


شكل (14-3)

الأشكال ((14-3)-(15-3)-(16-3)) تبين شكل الجاذبية للمنطقة المدروسة بواسطة برنامج  
surfer



الشكل (15-3)



الشكل (16-3)

### الباب الرابع

### الخلاصة والتوصيات

#### 1-4 الخلاصة :

تم التوصل إلى قيم ارتفاع الجيويد للنقاط الأربعة المستهدفة باستخدام معادلات (Stoke's) ، بدقة (0.3479 متر) وذلك بعد مقارنة النتائج المتحصل عليها من شذوذ الجاذبية مع النتائج المتحصل عليها من برنامج (EGM2008) .

#### المشاكل في حساب إرتفاع الجيويد من قراءات الجاذبية:

- عدم توفر البيانات الصحيحة 100% عن الجاذبية المخصصة لحساب إرتفاع الجيويد
- عدم توفر مرجعية صحيحة لإرتفاع الجيويد
- عدم توفر محطات جاذبية كافية في السودان (عدم توزيعها بطريقة مناسبة)
- عدم توفر مرجعية رأسية

### 2-4 التوصيات :

- يجب تخصيص بيانات ومعلومات جاذبية مخصصة متكاملة لأغراض جيوديسية أو هندسية عموماً (جاذبية، تصحيحات، ...) تغطي جميع أنحاء البلاد
- عمل شبكة جاذبية أرضية
- عمل نموذج جيويد جمهورية السودان

### قائمة المصادر والمراجع

- 1-جمعة محمد داوؤد،(2012)،أسس المساحة الجيويديسية والجي بي أس (GPS)،مكة المكرمة، المملكة العربية السعودية .
- 2- جمعة محمد داوؤد،(2012)،أسس المساحة الأرضية،مكة المكرمة،المملكة العربية السعودية .
- 3-عبد الله بن محمد العمري،(1428)،مبادئ الجيوفيزياء،جامعة الملك سعود.
- 4- سعيد المغربي،(2010)، سلسلة المحاضرات الإلكترونية في المساحة .